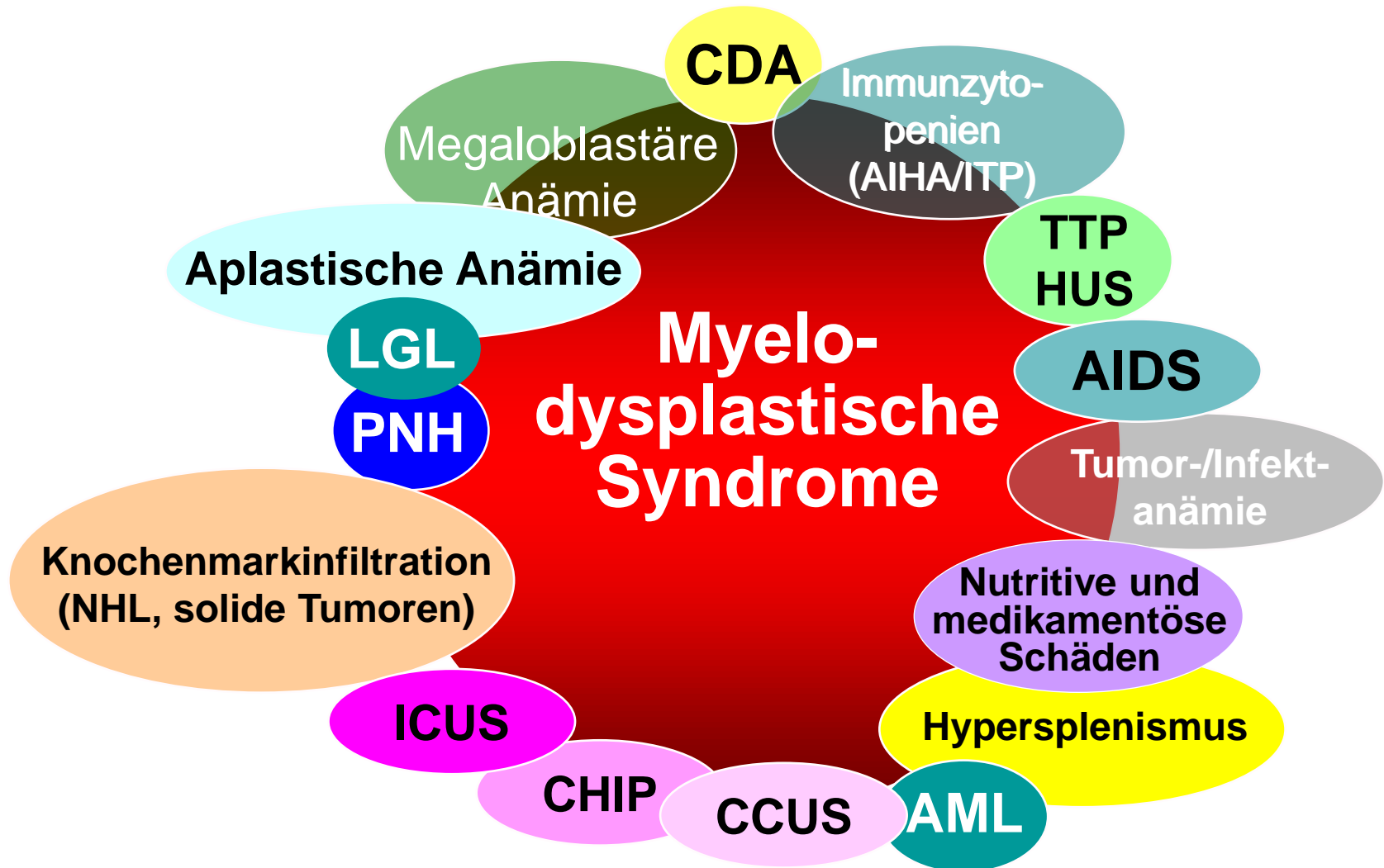


State of the art Diagnostik der MDS



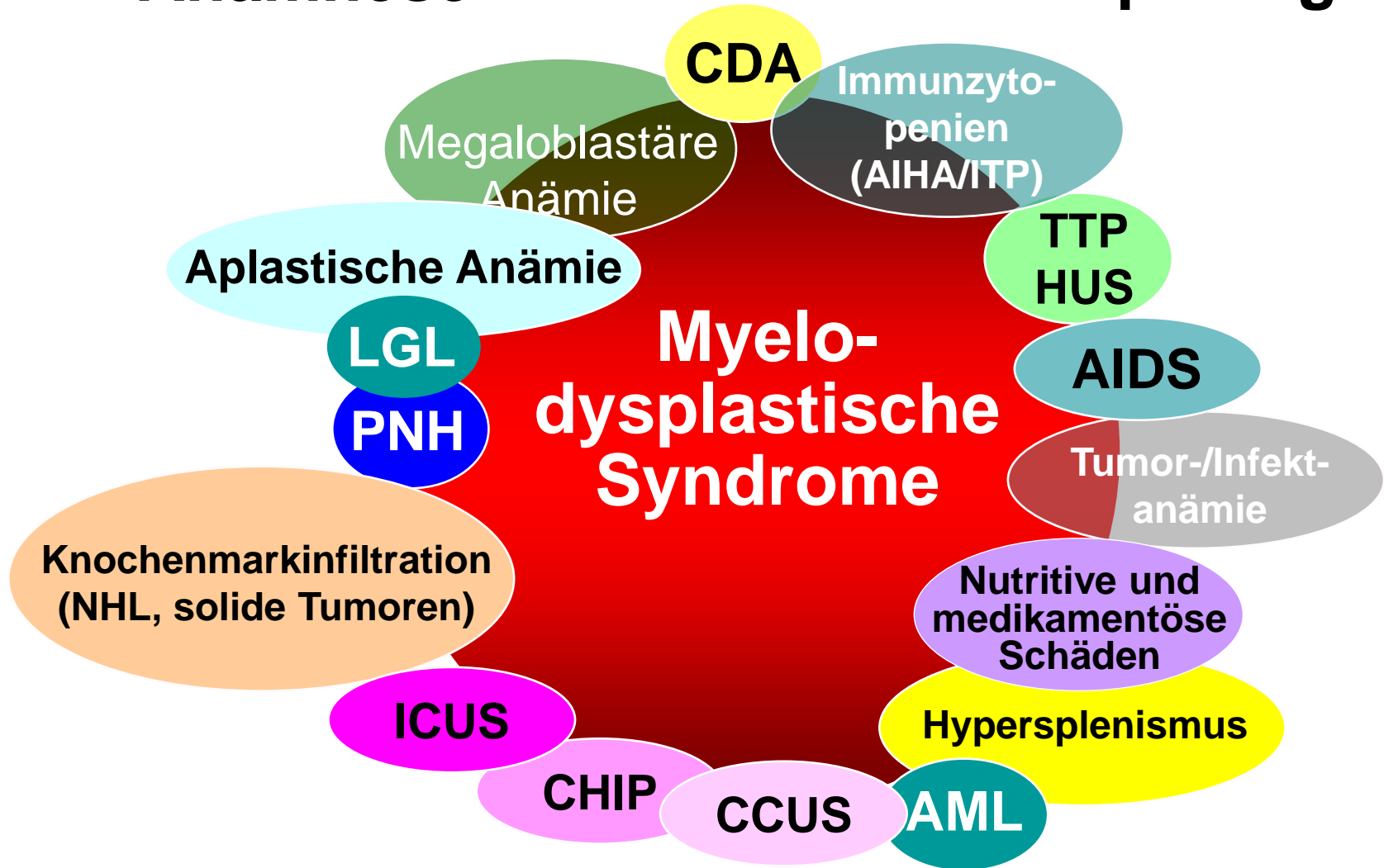
Prof. Dr. A. Giagounidis
**Klinik für Onkologie, Hämatologie und
Palliativmedizin**
Marien Hospital Düsseldorf
Rochusstr. 2, 40479 Düsseldorf
aristoteles.giagounidis@vkkd-kliniken.de

Differentialdiagnosen der MDS



Differentialdiagnosen der MDS

Anamnese Labor Morphologie



Rationelle Diagnostik bei MDS

Anamnese:

- Medikamentöse und nutritive Noxen (Alkohol, Drogen)
- Berufliche Exposition (Farben, Lacke, Benzol, Radioaktivität)
- Frühere Behandlungen (Chemotherapie, Radiotherapie)
- Autoimmunerkrankungen
- Familienanamnese

Rationelle Diagnostik bei MDS

Körperliche Untersuchung:

- Infektionen
- Hinweise auf Autoimmunerkrankungen (z.B. Arteriitis temp.?)
- Lymphknotenvergrößerungen
- Splenomegalie

Rationelle Diagnostik bei MDS

Blutentnahmen:

- Großes Blutbild (Erythrozytenzahl, MCV, MCH, RDW)
- Retikulozyten
- Differentialblutbild von Hand
- Infektionsserologie (Hepatitis, HIV)
- Vitamin B12/ Folsäure, Ferritin, Transferrin, LDH
- Kupferspiegel, Zinkspiegel

Minimal diagnostic criteria

www.impactjournals.com/oncotarget/

Oncotarget, 2017, Vol. 8, (No. 43), pp: 73483-73500

Priority Review

Proposed minimal diagnostic criteria for myelodysplastic syndromes (MDS) and potential pre-MDS conditions

Peter Valent^{1,2}, Attilio Orazi³, David P. Steensma⁴, Benjamin L. Ebert⁵, Detlef Haase⁶, Luca Malcovati⁷, Arjan A. van de Loosdrecht⁸, Torsten Haferlach⁹, Theresia M. Westers⁸, Denise A. Wells¹⁰, Aristoteles Giagounidis¹¹, Michael Loken¹⁰, Alberto Orfao¹², Michael Lübbert¹³, Arnold Ganser¹⁴, Wolf-Karsten Hofmann¹⁵, Kiyoyuki Ogata¹⁶, Julie Schanz⁶, Marie C. Béné¹⁷, Gregor Hoermann¹⁸, Wolfgang R. Sperr^{1,2}, Karl Sotlar¹⁹, Peter Bettelheim²⁰, Reinhard Stauder²¹, Michael Pfeilstöcker²², Hans-Peter Horny²³, Ulrich Germing²⁴, Peter Greenberg²⁵ and John M. Bennett²⁶

Minimal diagnostic criteria

A. Prerequisite Criteria (both must be fulfilled)

- Persistent (4 months) peripheral blood cytopenia** in one or more of the following lineages: erythroid cells, neutrophils, platelets (exception: in the presence of a blast cell excess and MDS-related cytogenetic abnormalities the diagnosis of MDS can be established without delay)
- Exclusion of all other hematopoietic or non-hematopoietic disorders as primary reason for cytopenia/dysplasia***

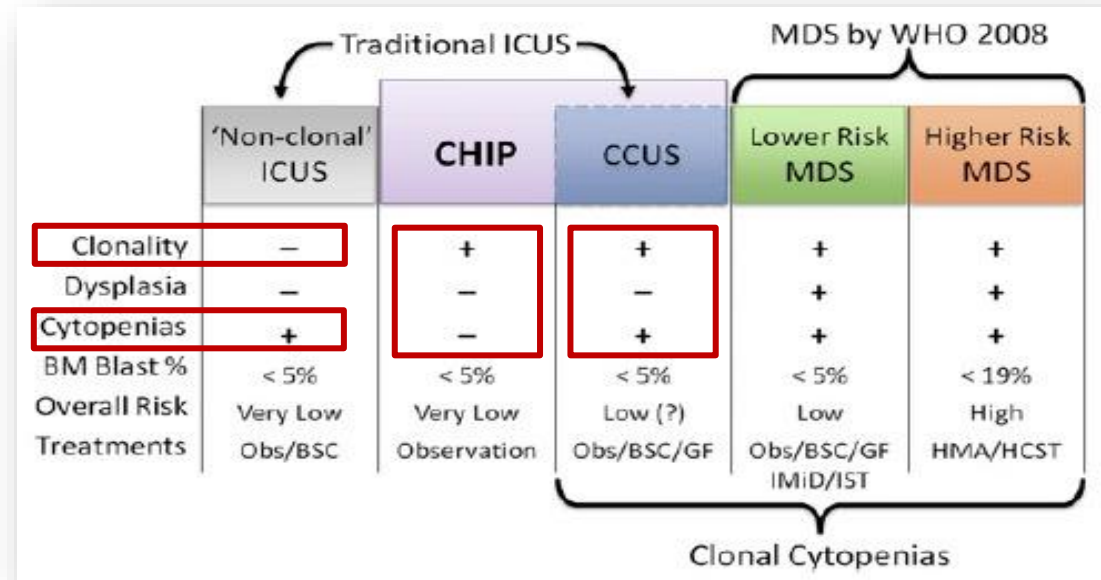
B. MDS-Related (Major) Criteria (at least one must be fulfilled)

- Dysplasia in at least 10% of all cells in one of the following lineages in the bone marrow smear: erythroid; neutrophilic; megakaryocytic****
- $\geq 15\%$ ring sideroblasts (iron stain)
or $\geq 5\%$ ring sideroblasts (iron stain) in the presence of *SF3B1* mutation
- 5-19% myeloblasts on bone marrow smears (or 2-19% myeloblasts on blood smears)
- Typical chromosome abnormality(ies) by conventional karyotyping or FISH*****

C. Co-Criteria (for patients fulfilling A but not B, and otherwise show typical clinical features, e.g. macrocytic transfusion-dependent anemia; two or more of these co-criteria must be fulfilled for considering a provisional diagnosis of MDS)

- Abnormal findings in histologic and/or immunohistochemical studies of bone marrow biopsy sections supporting the diagnosis of MDS****
- Abnormal immunophenotype of bone marrow cells by flow cytometry, with multiple MDS-associated phenotypic aberrancies indicating the presence of a monoclonal population of erythroid and/or myeloid cells
- Evidence of a clonal population of myeloid cells determined by molecular (sequencing) studies revealing MDS-related mutations*****

Annäherung an die schwierigen Differenzialdiagnosen



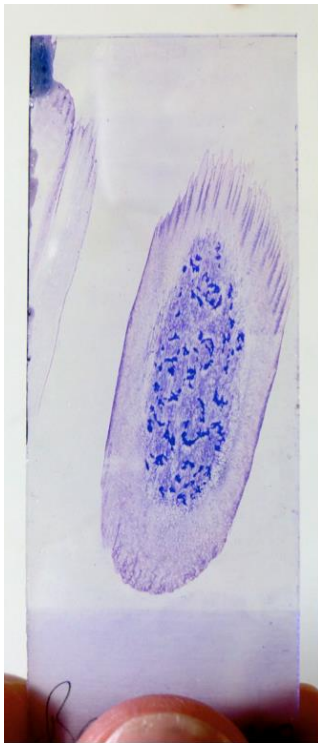
	CHIP Unselected Population	CCUS At Diagnosis	CCUS Prior to MDS/AML Progression	MDS All Risk Groups
Mutated Genes	<i>DNMT3A, TET2, ASXL1, JAK2, TP53 ...</i>	<i>TET2, DNMT3A, ASXL1, SRSF2, TP53, ...</i>	<i>TET2, SRSF2, ASXL1, U2AF1, DNMT3A, ...</i>	<i>SF3B1, TET2, ASXL1, SRSF2, DNMT3A, ...</i>
# of Mutations	~1	~1.6	~2	~2.6
Typical VAF	9-12% (>10% with ↑ risk)	30-40%	~40%	30-50%
Mutation Rate	~10% of 70 year-olds	About 35% of ICUS	About 90% of ICUS	About 90% of MDS

VAF ≥ 10
Number of mutations

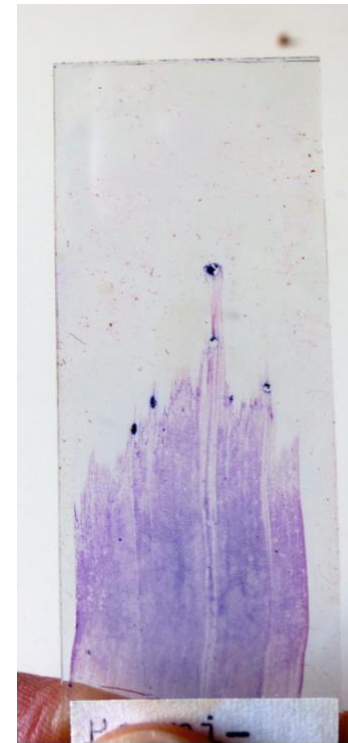
Rationelle Diagnostik bei MDS

- KM-Punktion:
- Spina iliaca posterior superior
- Kein Heparin als Antikoagulans
- Ausstrich- oder Bröckel-Quetsch-Präparate
- Falls Immunphänotypisierung: 1 – 2 ml reichen, diese zuerst aspirieren
- Keine sonderliche Blutungsneigung (Thrombozytopenie, Antikoagulation)

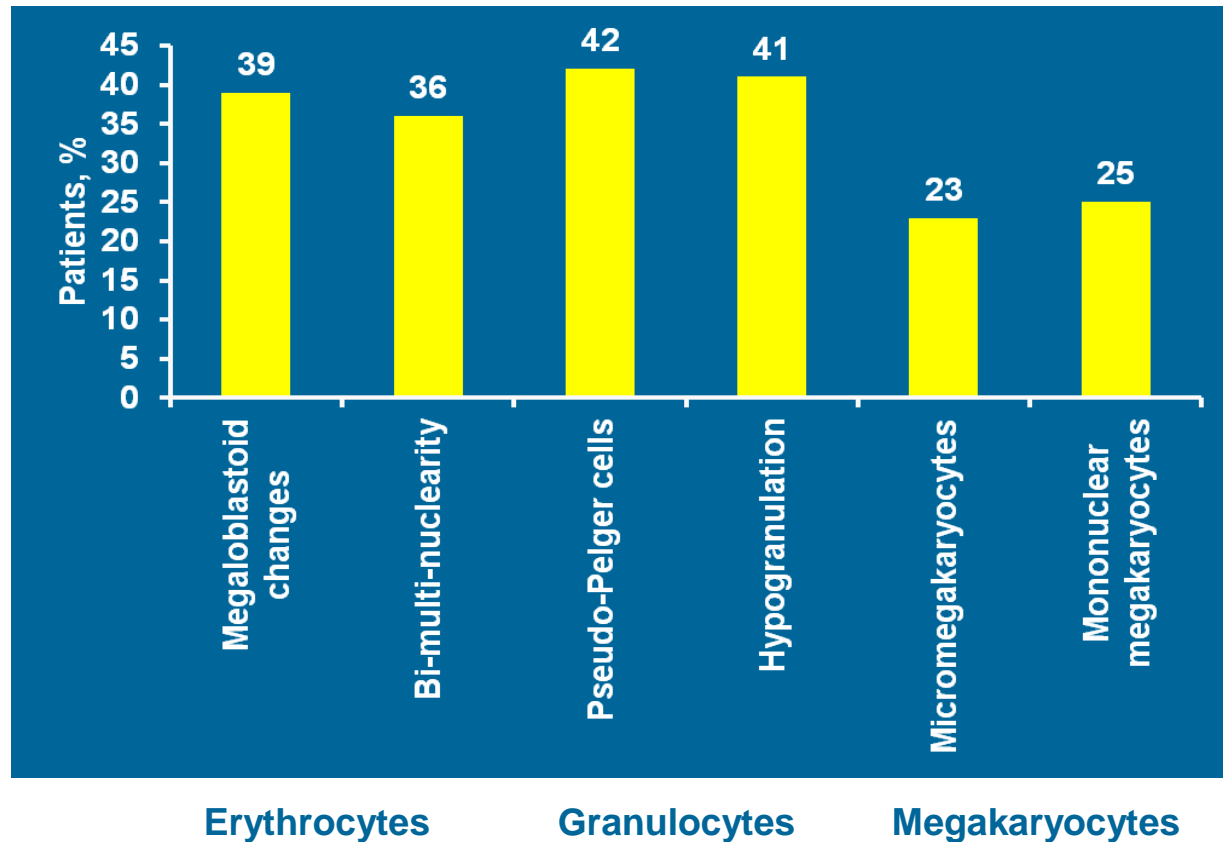
Bone marrow smear



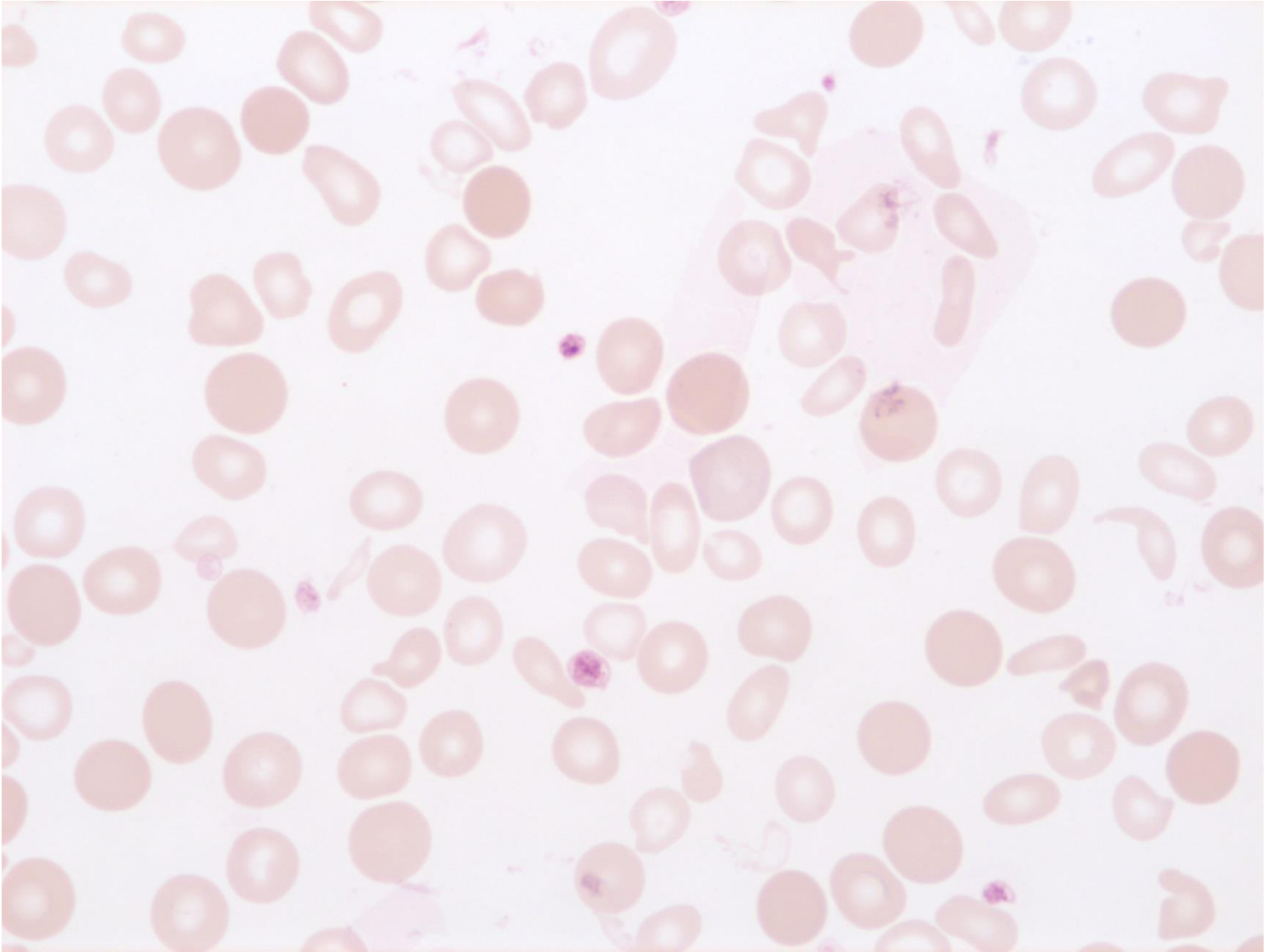
Bone marrow film

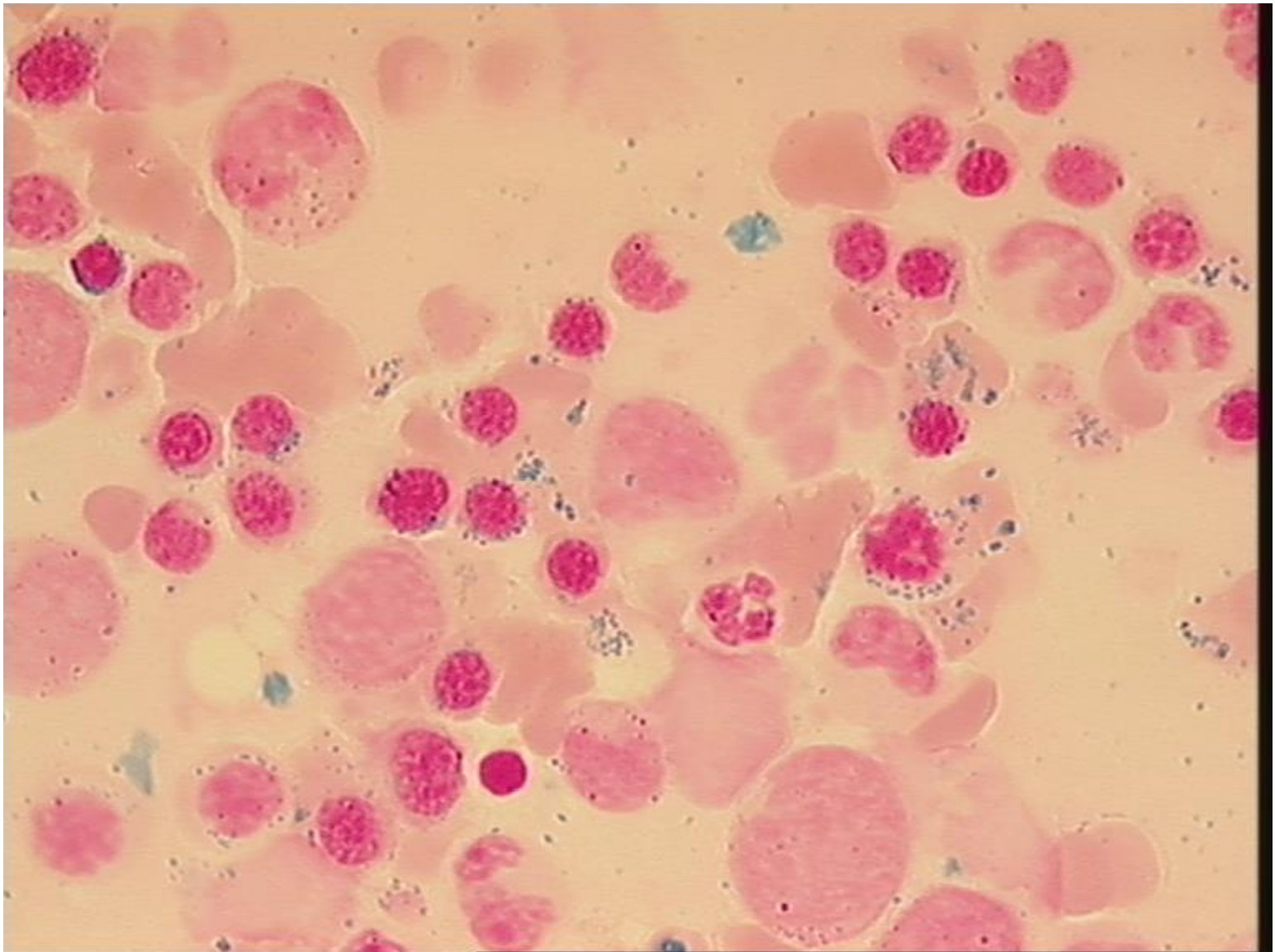


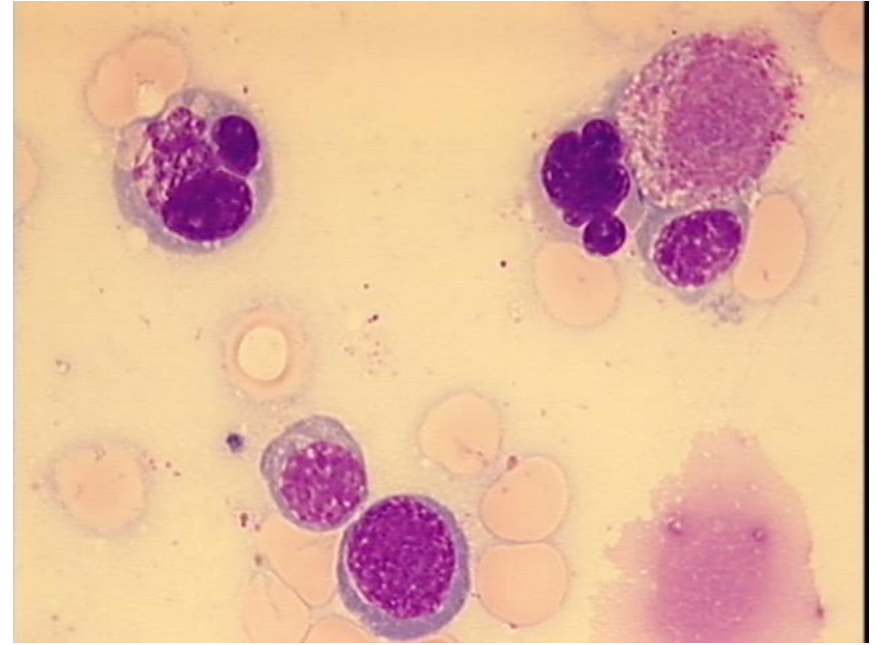
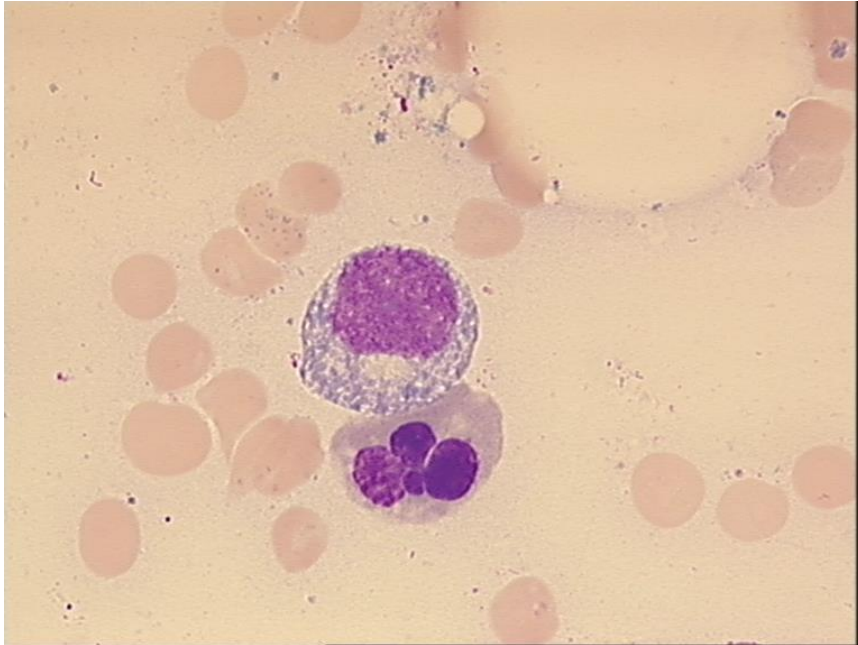
Häufigste Knochenmarkdysplasien bei MDS

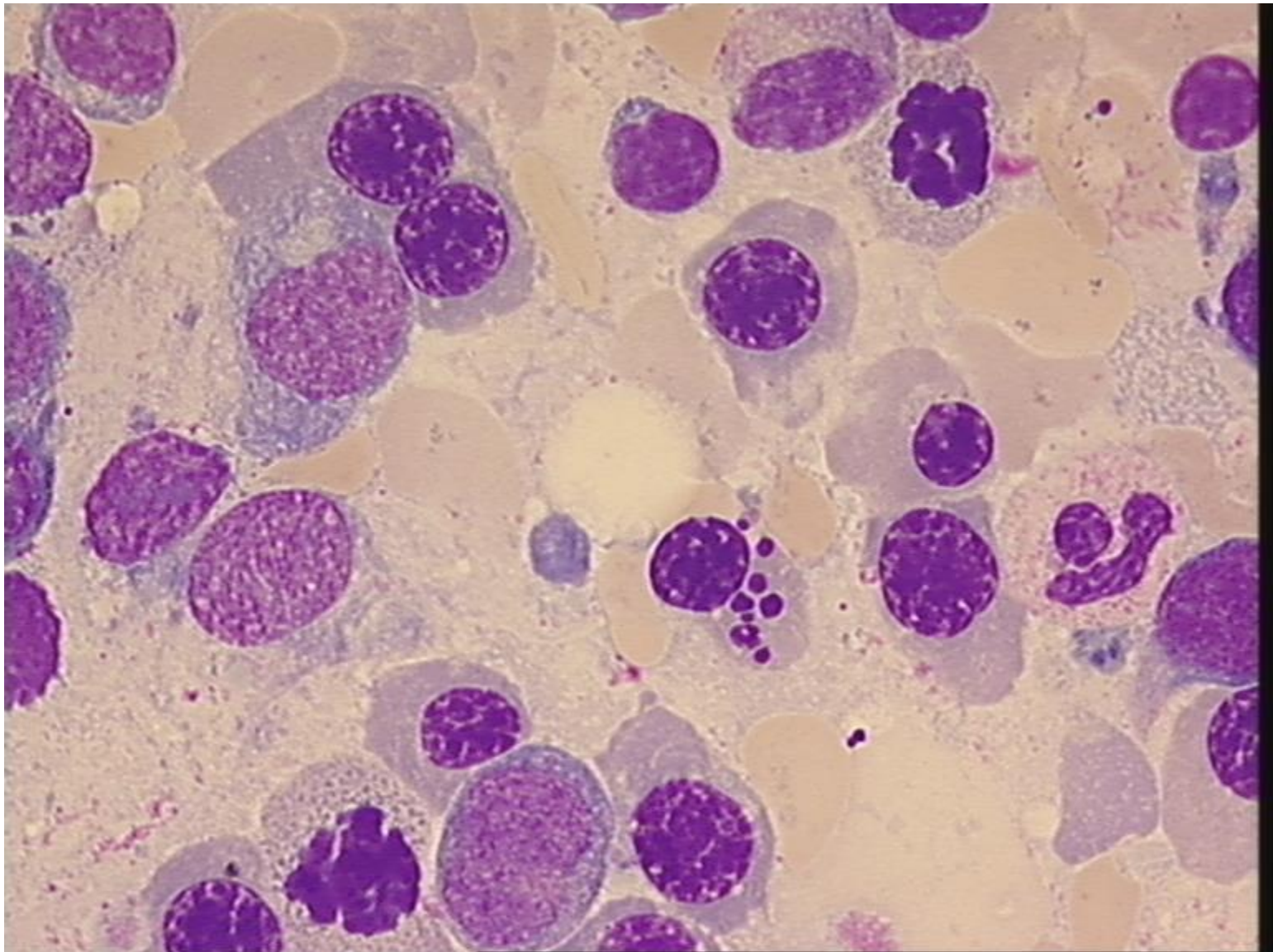


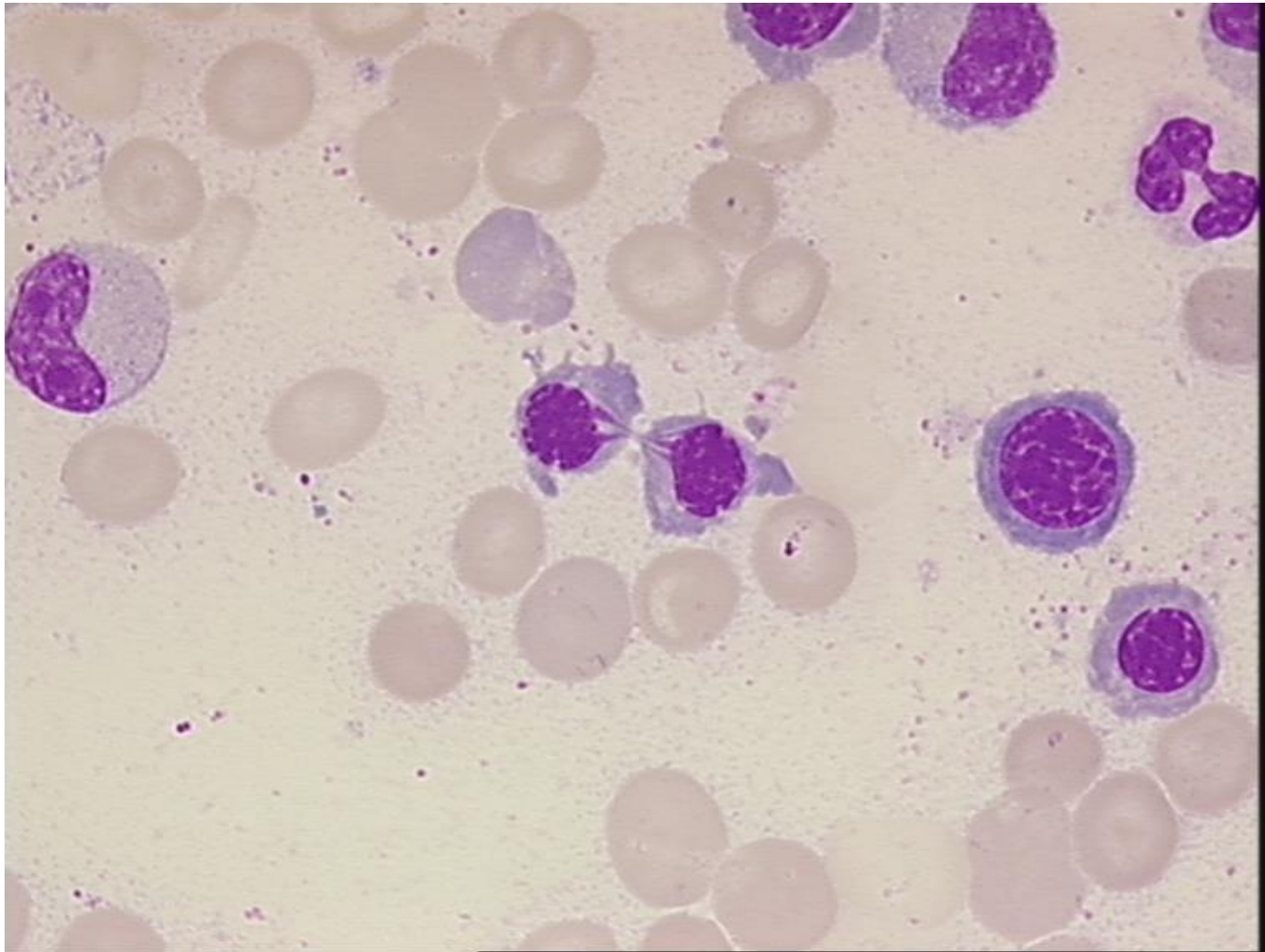
Most frequent signs of dysplasia in 3,156 patients with MDS

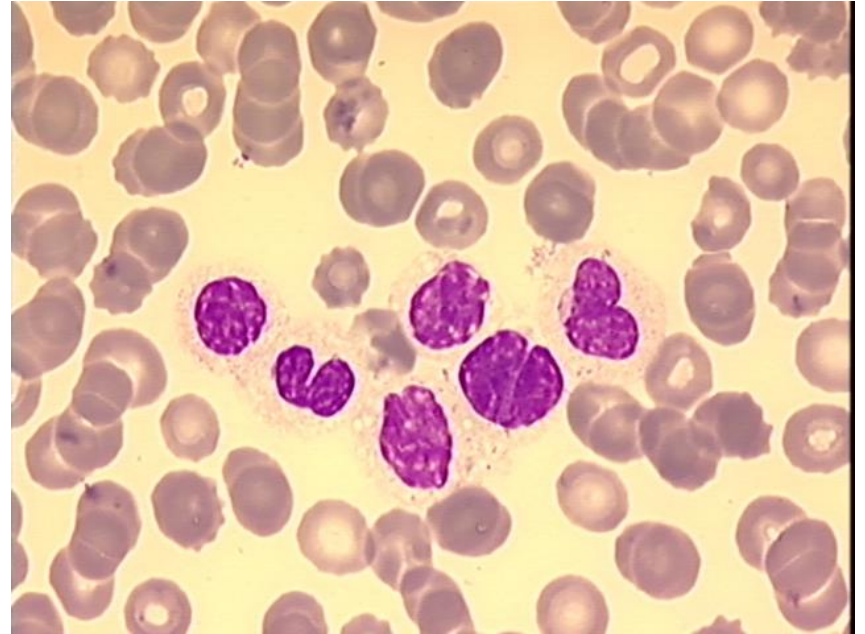
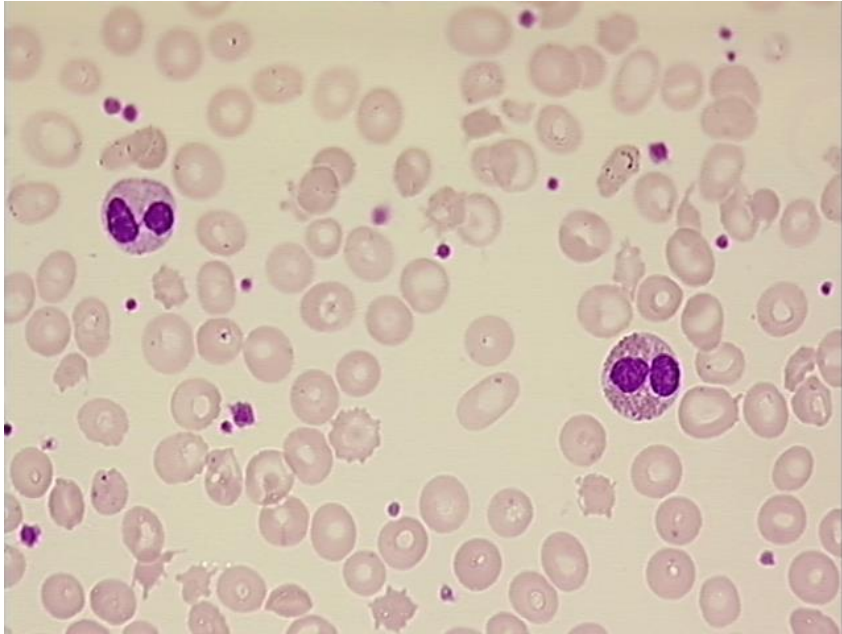


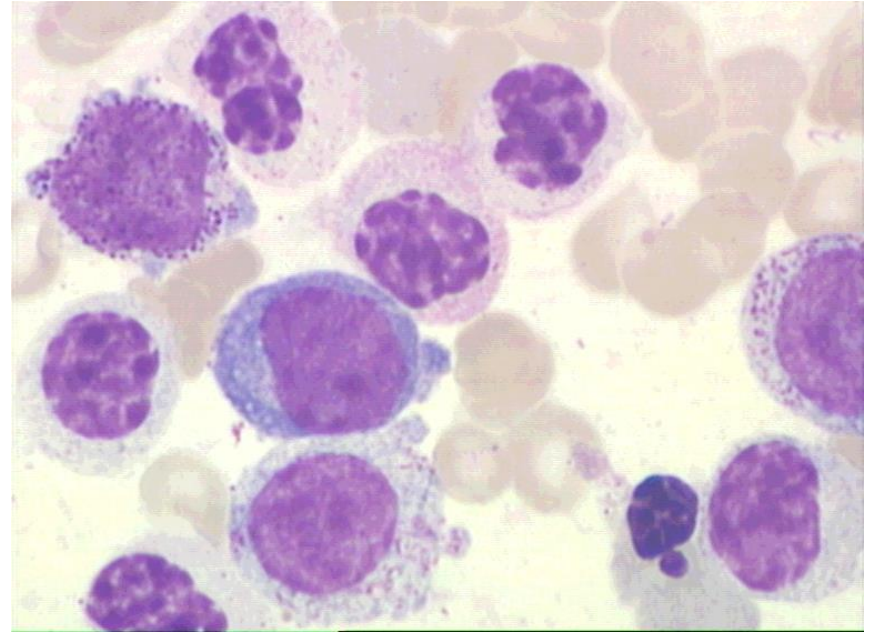
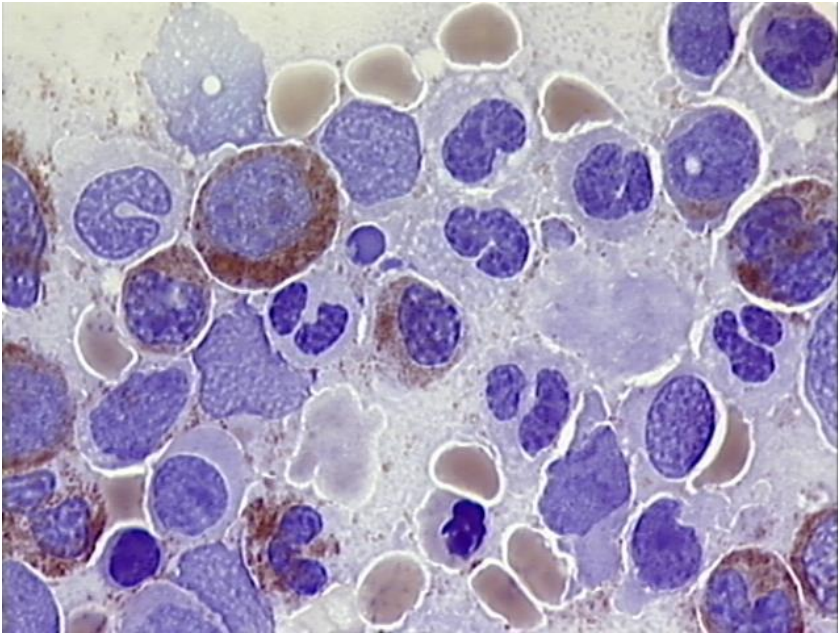


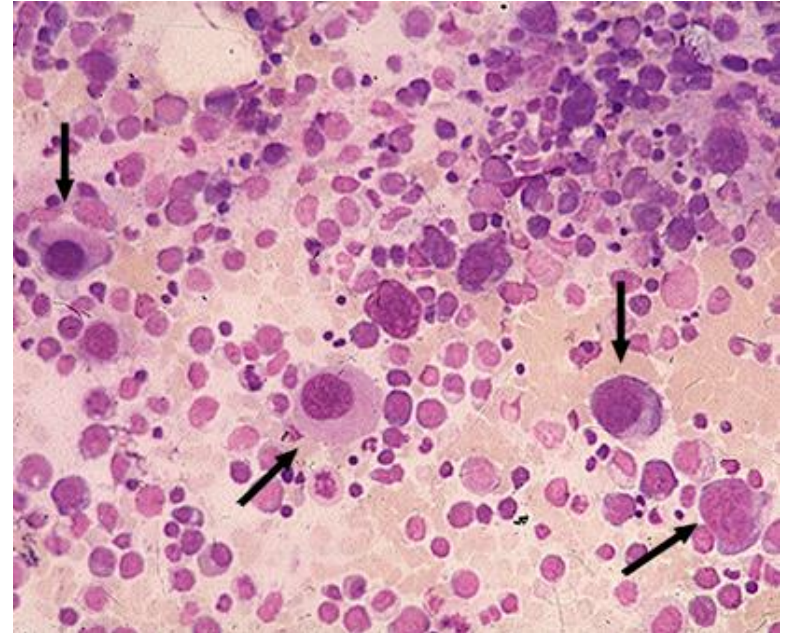
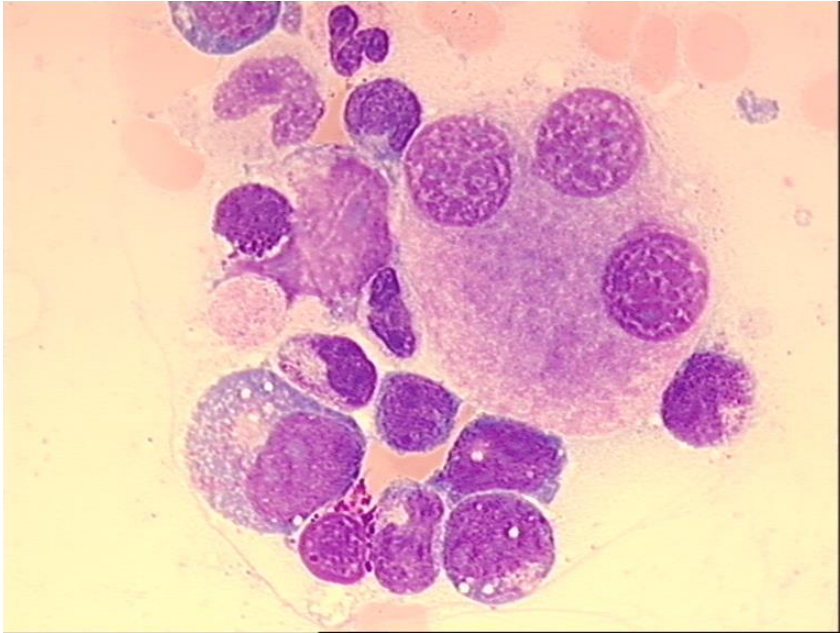


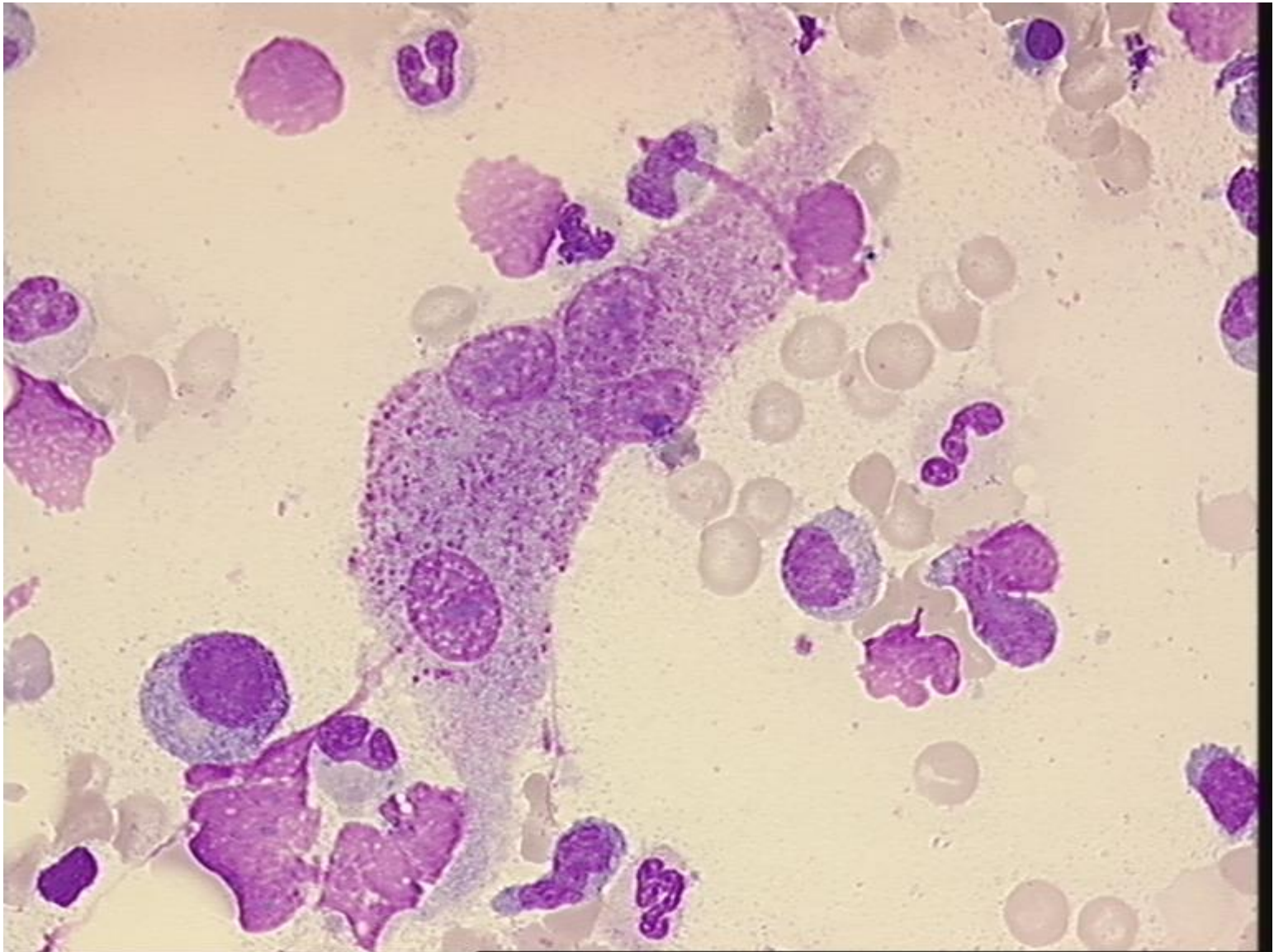


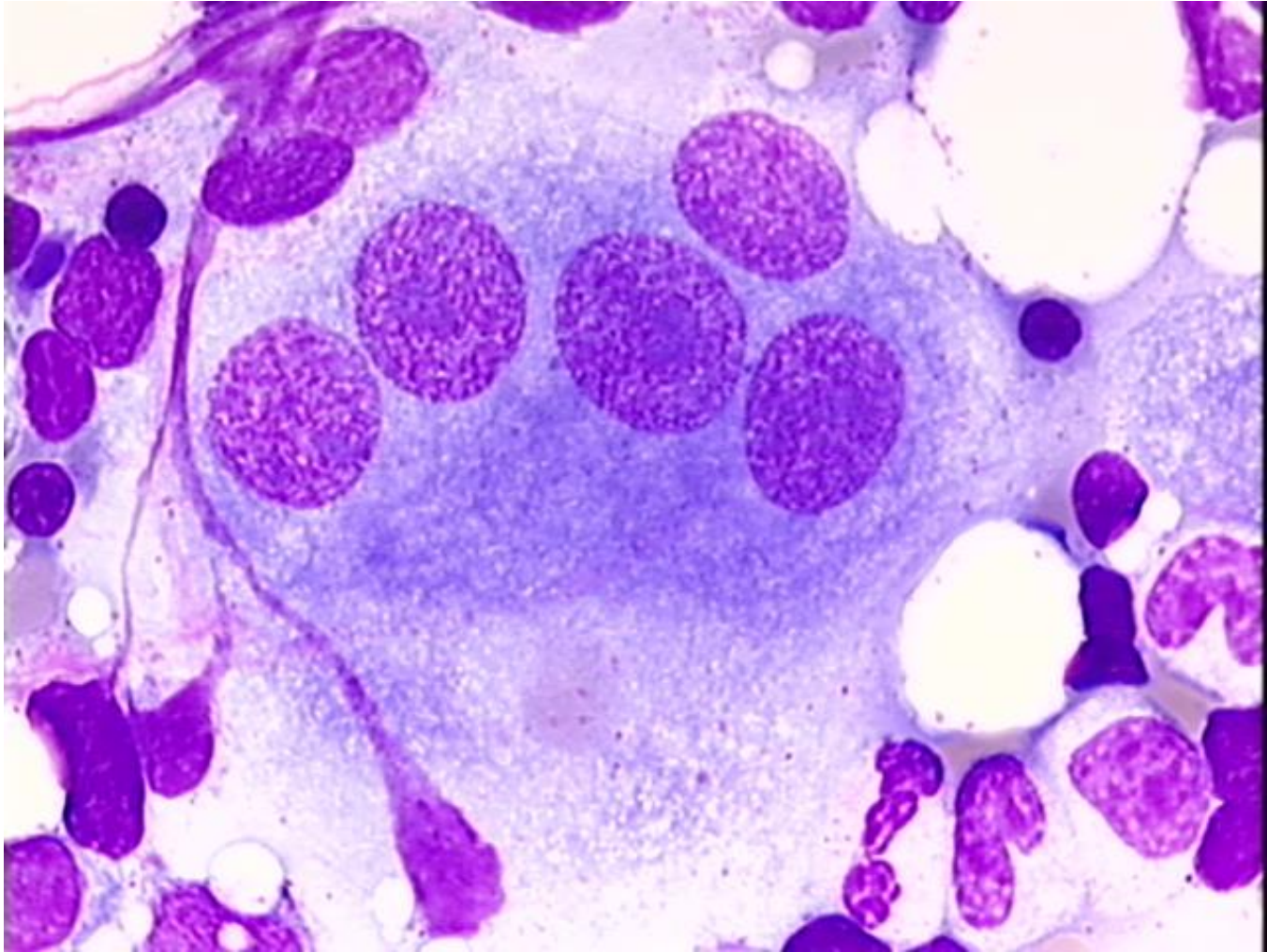






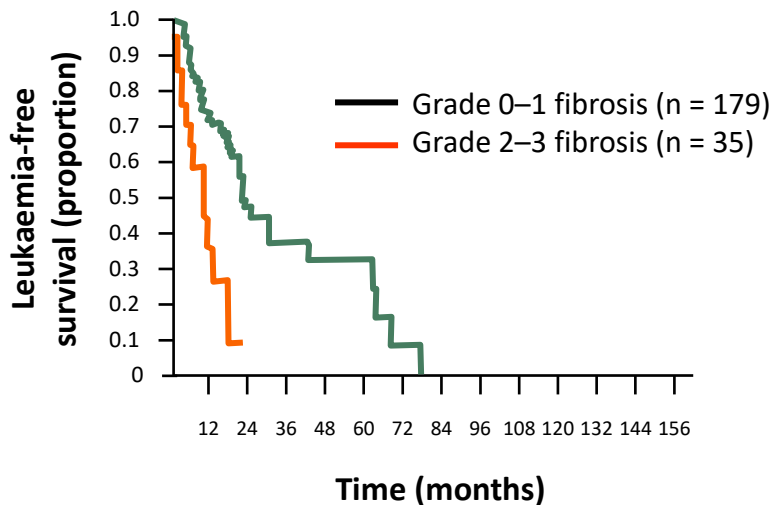




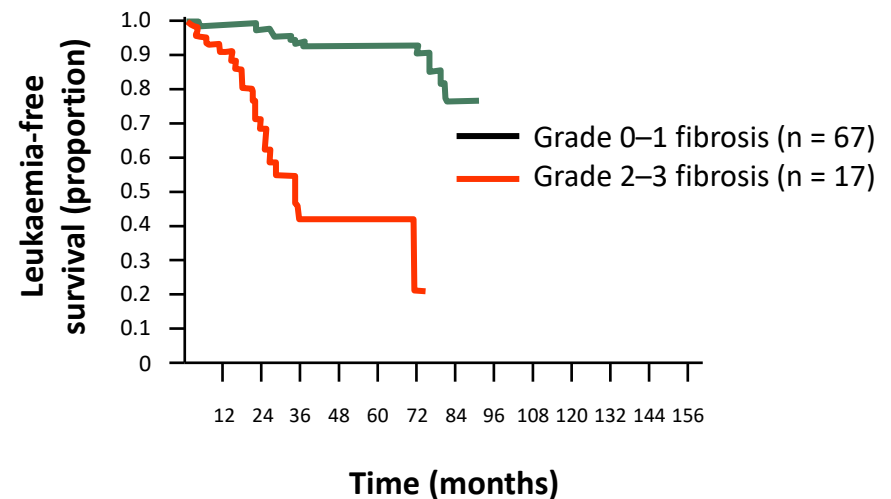


Knochenmarkhistologie

Patients with RA/RARS/RCMD ± RS (n = 214)



Patients with RAEB-1/-2 (n = 84)



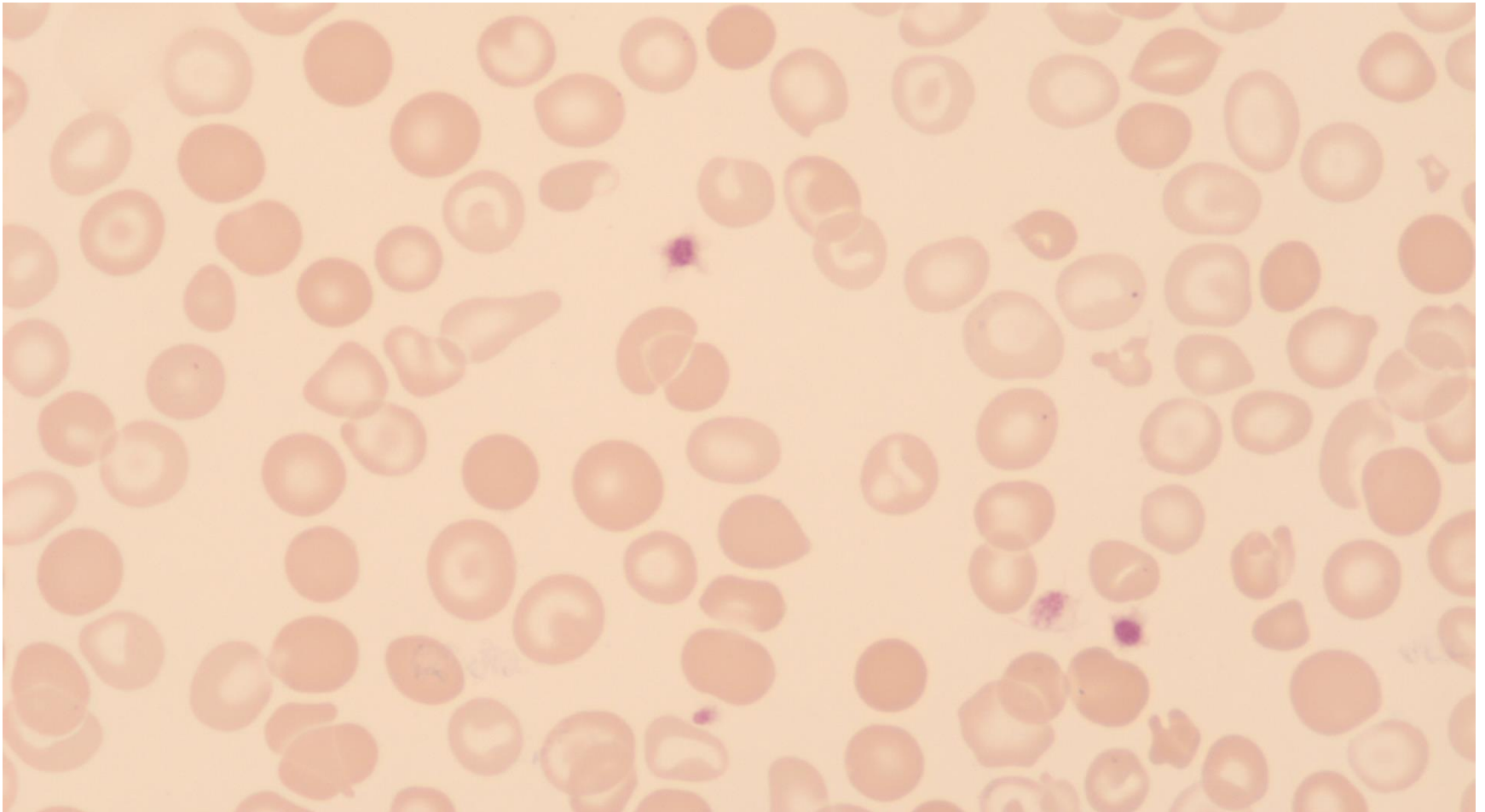
Patients with grade 2–3 fibrosis had reduced leukaemia-free survival compared to patients with grade 0–1 fibrosis

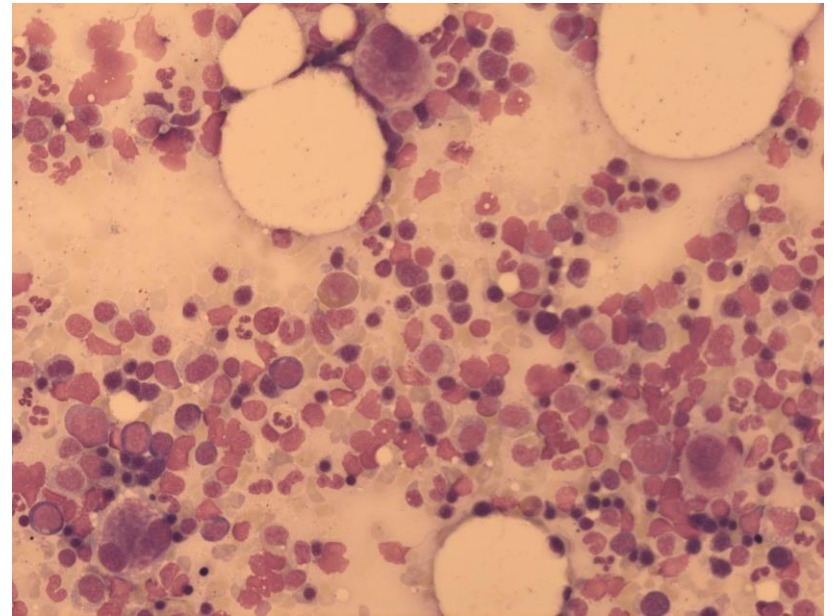
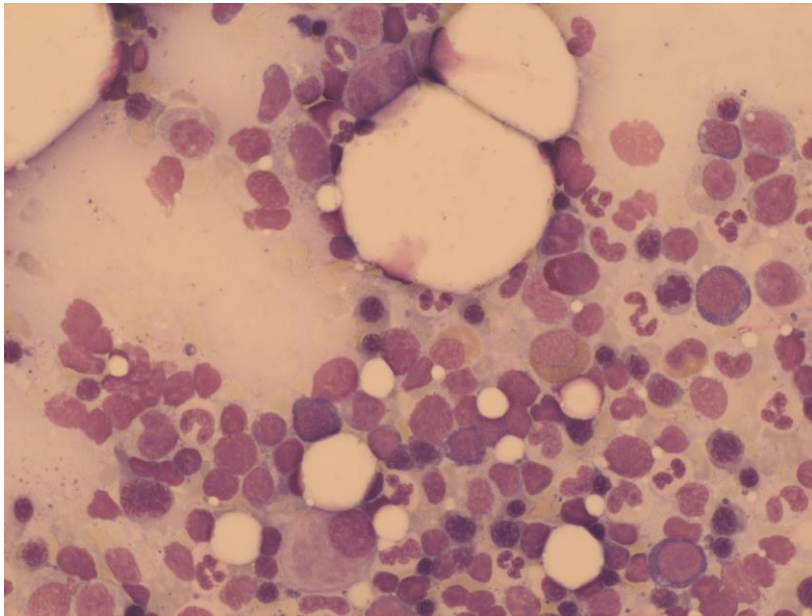
Fallbeispiel 1

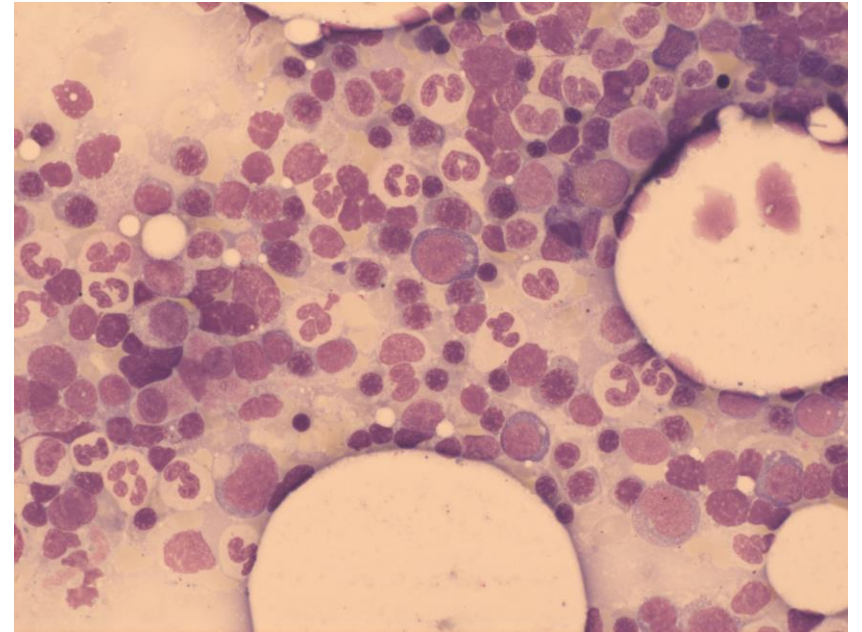
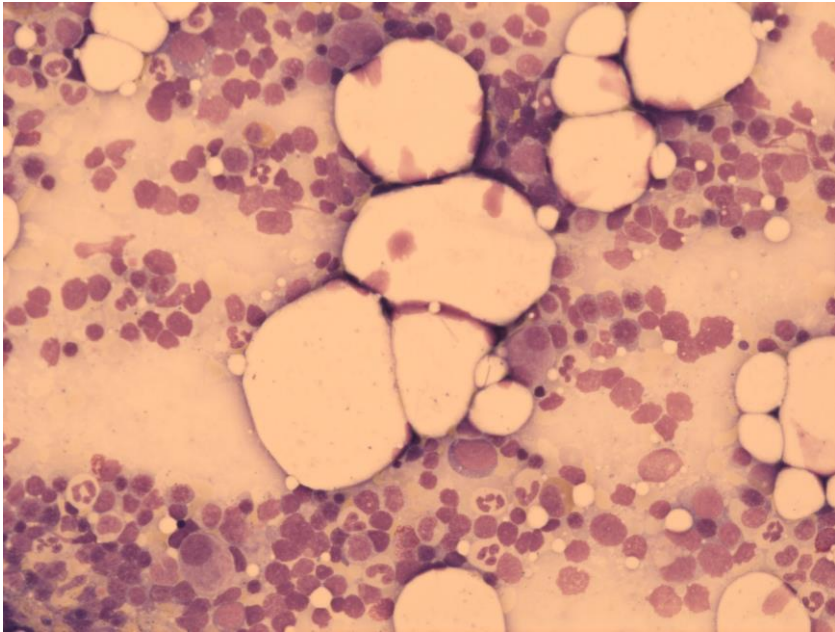
- 60 jähriger Mann, asymptomatisch
- Vor 2 Jahren noch normale Blutwerte
Hgb 14,2 g/dL, ANC 2100/ μ L, PLT 238.000/ μ L
- Seit 2 Jahren, langsam fallender Hb-Wert auf 10,1 g/dL
- Auffallend: Mikrozytose (MCV 66 fL) und Hypochromie (MCH 19 pg/RBC)
- GI: keine Blutung
- Ferritin normal, Transferrinsättigung normal
- Löslicher Transferrinrezeptor erhöht, RDW 30% (11%-15% normal)

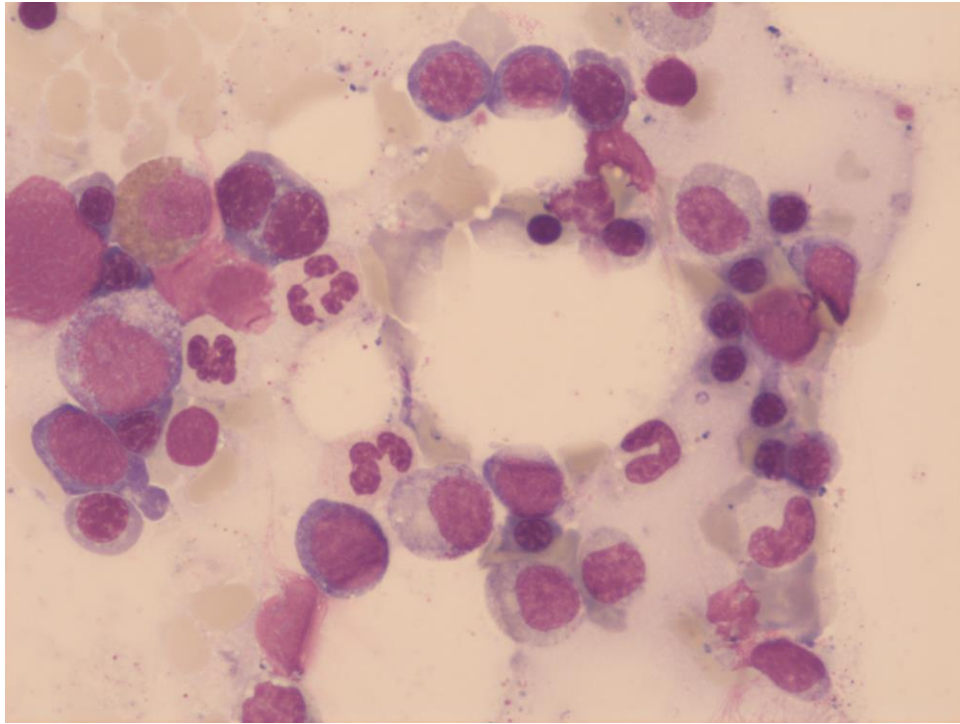
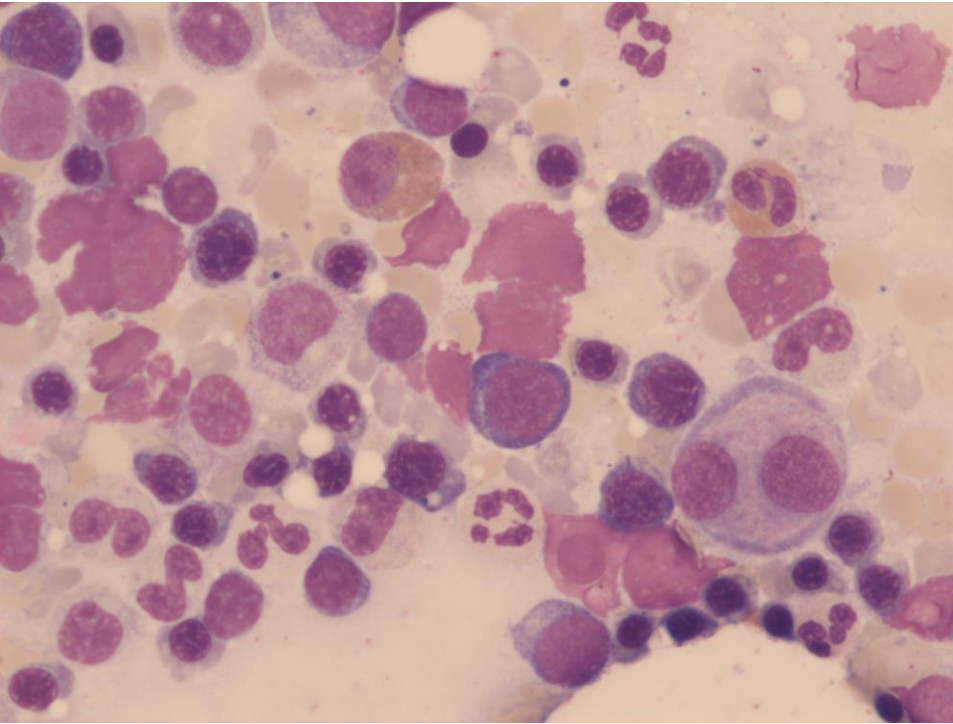
Peripherer Blutausstrich

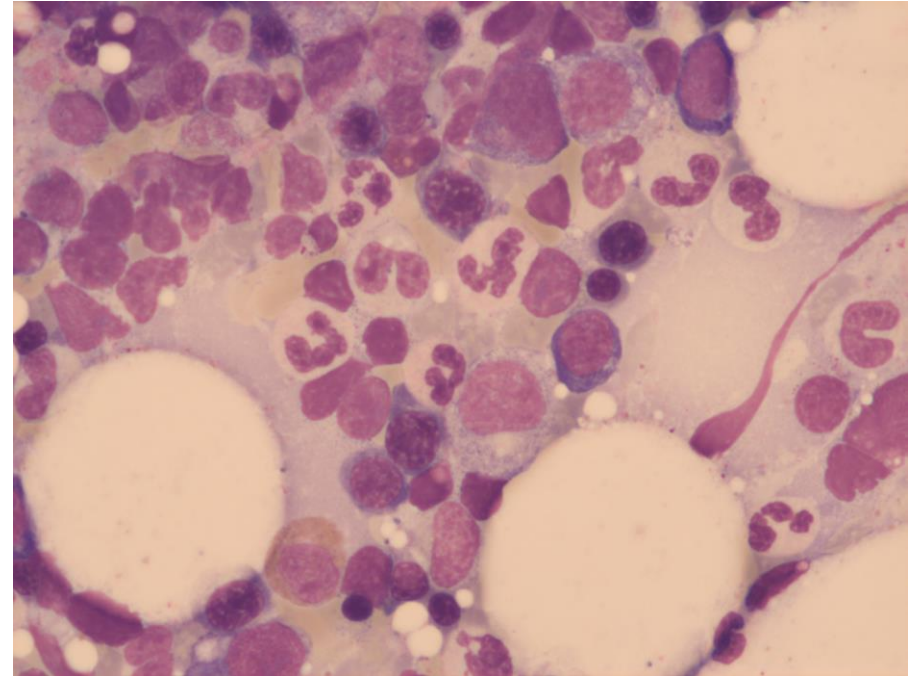
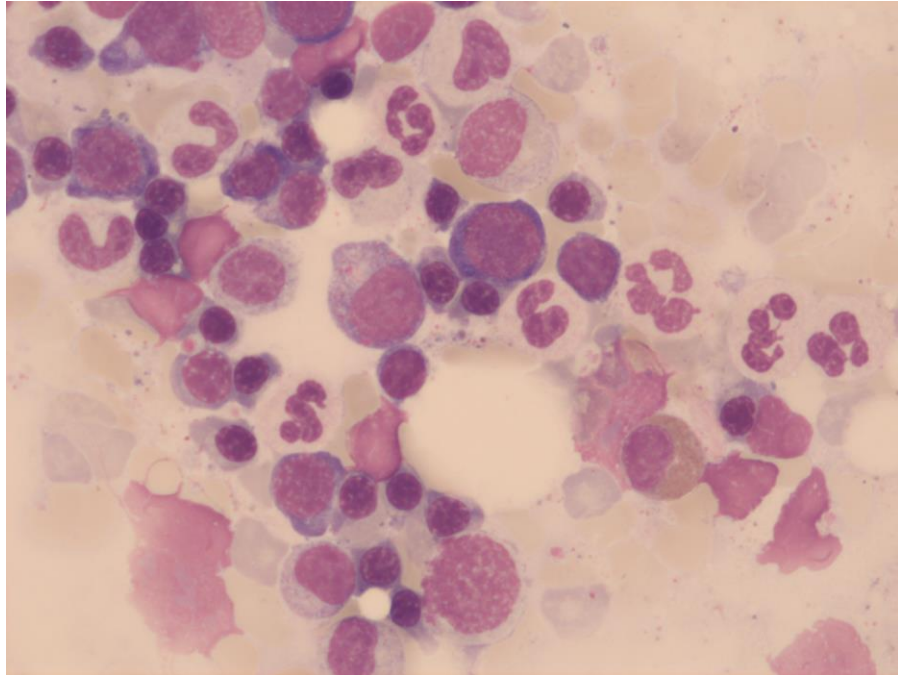
Warum Schießscheibenzellen?

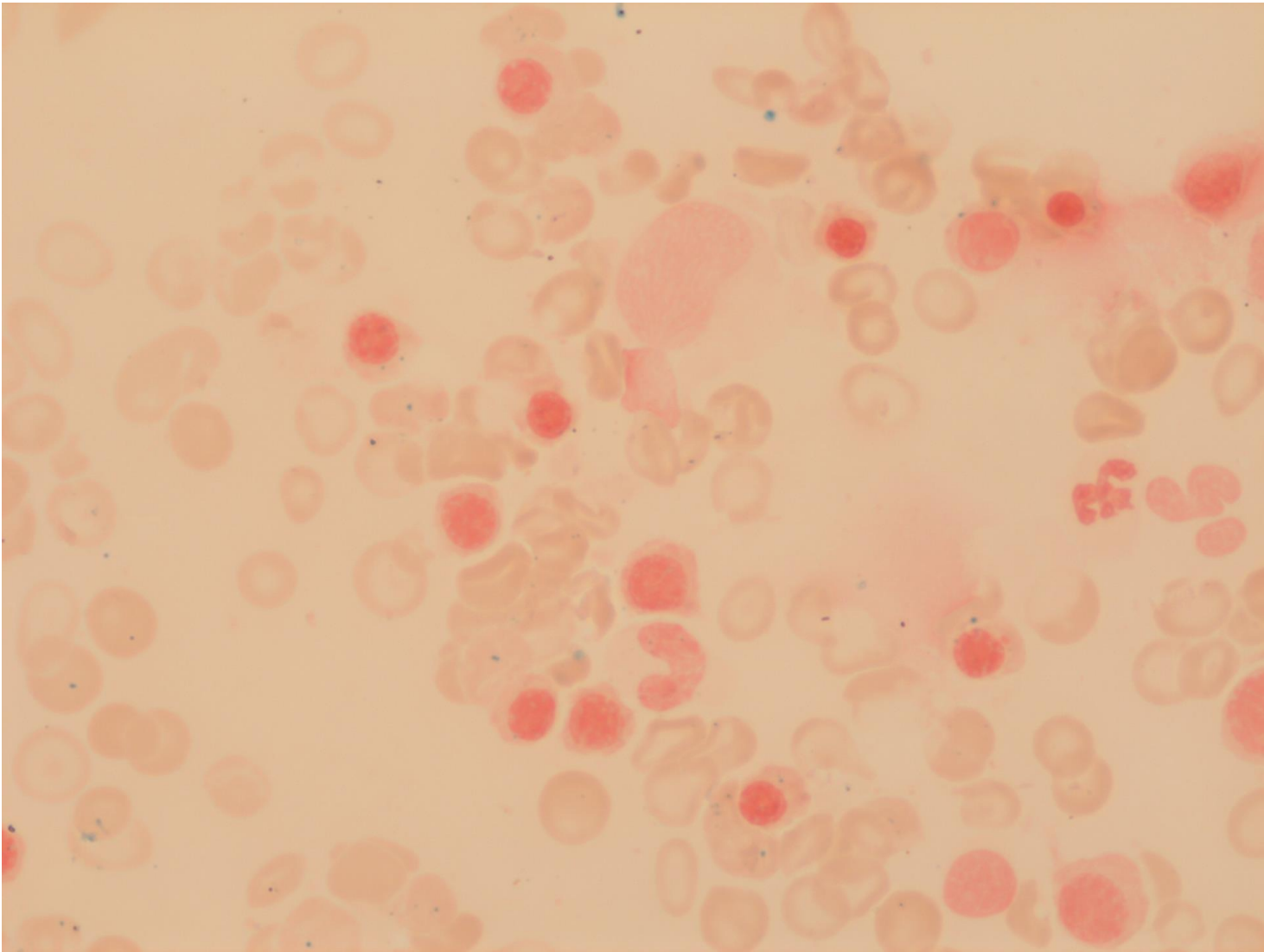


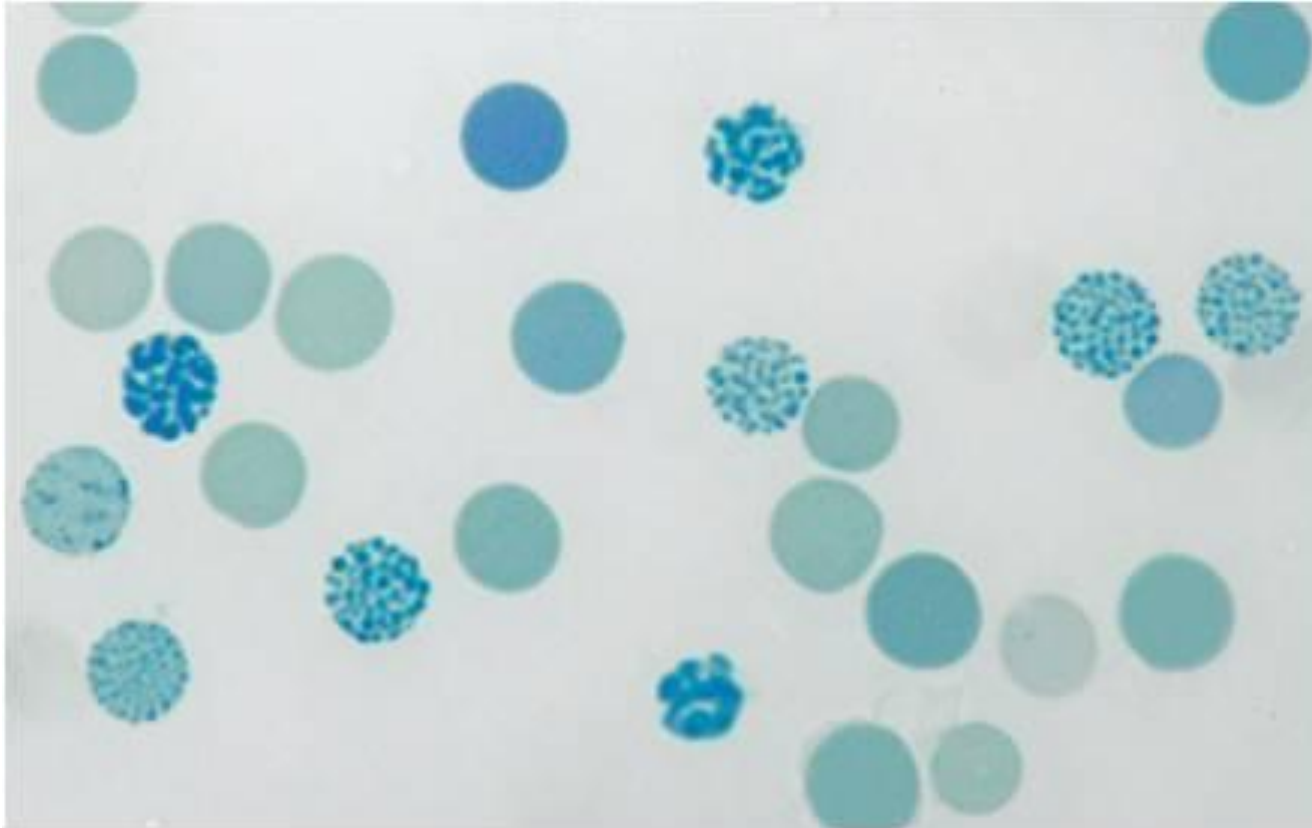












Veränderungen (Tier 1 oder 2)¹

Gene	Exon	DNA/cDNA	Protein	VAF ²	Bewertung	Material	
ASXL1	13	c.1900_1922del	p.Glu635Argfs*15	23	Tier 1	KM	DNA
ATRX	35	c.7219C>T	p.Arg2407*	81	Tier 1	KM	DNA
EZH2	08	c.866G>T	p.Cys289Phe	34	Tier 2	KM	DNA
PHF6	10	c.1024C>T	p.Arg342*	77	Tier 1	KM	DNA
U2AF1	06	c.470A>G	p.Gln157Arg	41	Tier 1	KM	DNA

¹ Tier-Bewertung siehe Legende zur Tabelle „Durchgeführte Analysen“.

² VAF: Varianten Allel Frequenz, % mutierte/(mutierte+Wildtyp reads) mittels NGS.

Durchgeführte Analysen

Gen	Bewertung ¹	Analysierter Bereich	Ensembl transcript ID	Methode	Sensitivität		Material	
					Screening	MRD		
ASXL1 ²	Tier 1	E13	ENST00000375687	NGS	mind. 3%	1,000%	KM	DNA
ATRX	Tier 1	Komplett	ENST00000373344	NGS	mind. 3%	1,000%	KM	DNA
CBL	Wildtyp	E08, E09	ENST00000264033	NGS	mind. 3%	1,000%	KM	DNA
DNMT3A	Wildtyp	E07-E23	ENST00000264709	NGS	mind. 3%	1,000%	KM	DNA
EZH2	Tier 2	Komplett	ENST00000320356	NGS	mind. 3%	1,000%	KM	DNA
JAK2 ³	Wildtyp	Komplett	ENST00000381652	NGS	mind. 2%	1,000%	KM	DNA
PHF6	Tier 1	Komplett	ENST00000370803	NGS	mind. 3%	1,000%	KM	DNA
RUNX1	Wildtyp	Komplett	ENST00000344691	NGS	mind. 3%	1,000%	KM	DNA
SF3B1	Wildtyp	E13-E16	ENST00000335508	NGS	mind. 3%	1,000%	KM	DNA
SRSF2	Wildtyp	E01	ENST00000392485	NGS	mind. 3%	1,000%	KM	DNA
TET2	Wildtyp	Komplett	ENST00000380013	NGS	mind. 3%	1,000%	KM	DNA
TP53	Wildtyp	Komplett	ENST00000269305	NGS	mind. 3%	1,000%	KM	DNA
U2AF1	Tier 1	Komplett	ENST00000291552	NGS	mind. 3%	1,000%	KM	DNA
ZRSR2	Wildtyp	Komplett	ENST00000307771	NGS	mind. 3%	1,000%	KM	DNA

¹ Wildtyp/Negativ/Normalexpression: kein Nachweis von Veränderungen.

Positiv/Überexpression: Nachweis von Veränderungen.

Tier 1: molekulargenetisch pathogene Veränderung. Relevanz für Therapie, Diagnose oder Prognose ist vom Krankheitsbild abhängig.

Tier 2: ein somatischer Ursprung der Veränderung ist wahrscheinlich, die molekulare Pathogenität der Veränderung ist nicht eindeutig zu belegen. Relevanz für Diagnose oder Prognose je nach Krankheitsbild möglich.

Tier 3: Variante unbekannter Signifikanz (VUS); bei Mutationslasten > 30% (siehe Spalte VAF in der Tabelle im Anhang) kann zur Unterscheidung zwischen einer Keimbahnveränderung und einer somatischen Veränderung eine Abklärung aus Normalgewebe (MSH/Nagel) sinnvoll sein. Somatische Veränderungen wären ein Zeichen für Klonalität der Hämatopoese und als Verlaufsmarker geeignet.

(Tier 4: gutartige oder mit hoher Wahrscheinlichkeit gutartige Veränderungen (Polymorphismen), die hier nicht explizit aufgeführt werden.)

² Die Mutation c.1934dup im Homopolymerbereich des ASXL1 Gens weist eine Sensitivität von etwa 5% auf.

³ MRD für Hotspot-Mutation (p.V617F) mit einer Sensitivität von 0,03% möglich.

Sequenzierte Bereiche mit geringer coverage (< 400 reads)

Gen	Region
PHF6	c.730-2 - c.730-1 (E08, 394x, 1.8%)
ATRX	c.595-2 - c.595-1 (E08, 390x, 2.8%), c.2439 (E09, 333x, 0%), c.5698-2 - c.5715 (E24, 287x, 21.5%), c.6217+2 (E27, 393x, 0.9%), c.6508 (E30, 392x, 0.5%)

Genspezifische Region HGVSc (Betroffenes Exon, minimale Coverage, prozentualer nicht ausreichend abgedeckter Anteil des betroffenen Exons)

Diagnose ?

- Trilineäre Dysplasie +++
- Schießscheibenzellen im peripheren Blut
- Red cell distribution width +++
- Normale Eisenhomöostase
- Erythroide Hyperplasie
- Karyotyp: 46, XY

Σ : acquired alpha thalassemia MDS (AT-MDS)

Immunphänotypisierung bei MDS

(C) Co-criteria

(for patients fulfilling „A“ but not „B“, and otherwise show typical clinical features, e.g. macrocytic transfusion-dependent anemia)

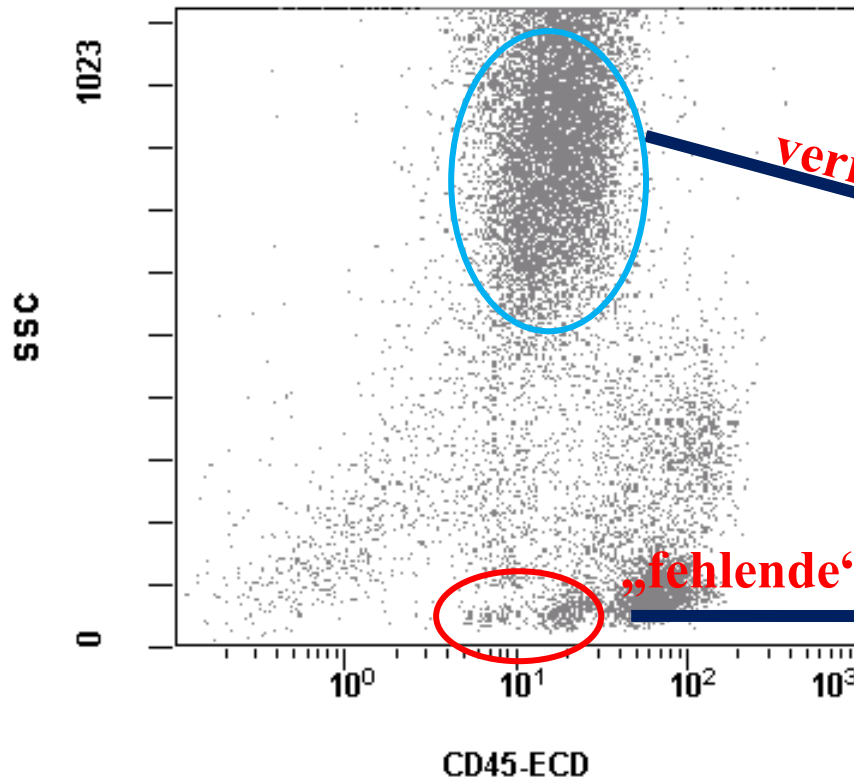
Abnormal phenotype of bone marrow cells clearly indicative of a monoclonal population of erythroid or/and myeloid cells, determined by flow cytometry

Clear molecular signs of a monoclonal cell population in HUMARA assay, gene chip profiling, or point mutation analysis (e.g. *RAS* mutations)

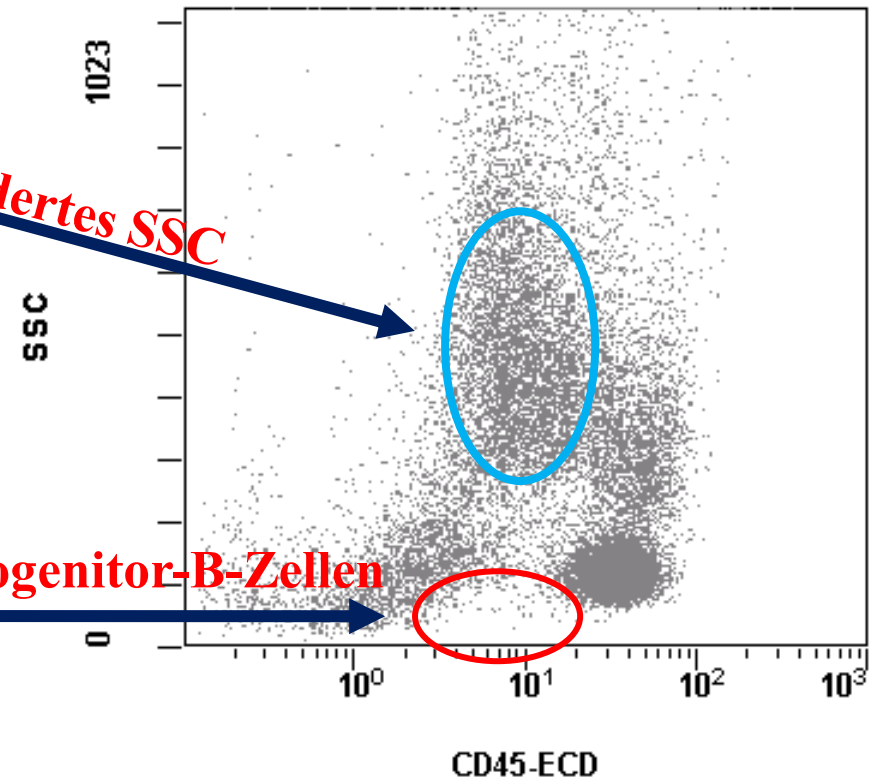
Markedly and persistently reduced colony-formation (\pm cluster formation) of bone marrow or/and circulating progenitor cells (CFU-assay)

Immunphänotypisierung bei MDS

Normales Knochenmark

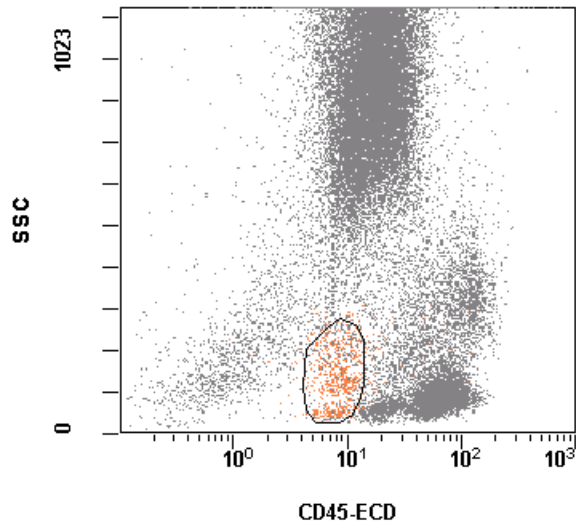


Patient mit RCMD

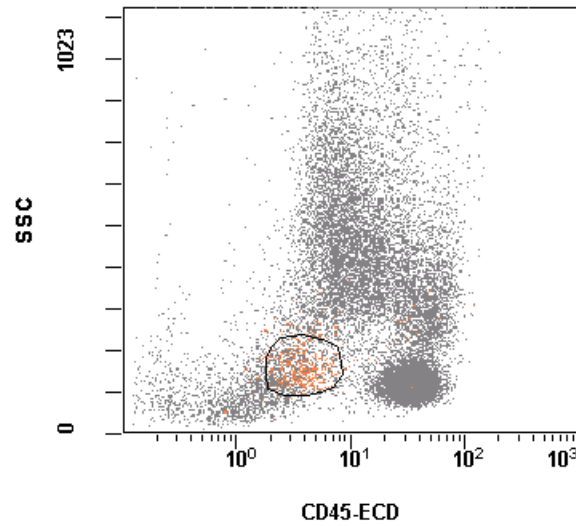


„Pathologisch differenzierte Blasten“

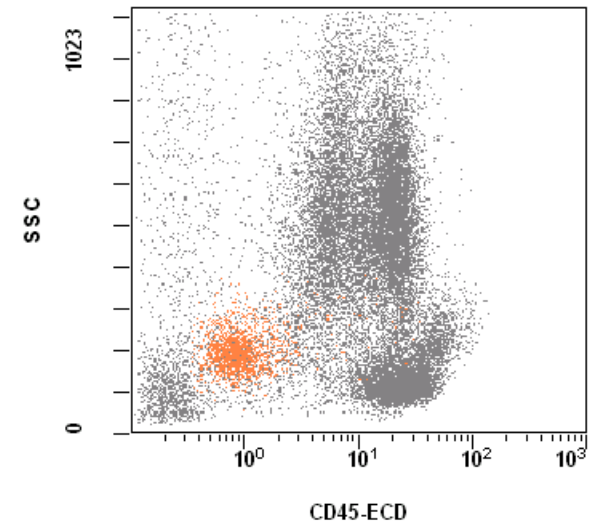
Normales Knochenmark



RCMD



RAEB-I



Immunphänotypisierung bei MDS

Progenitor-AG: CD34, HLA-DR, CD38, CD10, CD117, TDT,

Aktivierungs-AG: CD90, CD133, CD135, CD45, CD71, CD9,
„7.1“

Myeloische-AG: CD13, CD14, CD15, CD33, CD41, CD61,
CD64, CD65, CD66b, CD235a, MPO, LF

Lymphatische-AG: CD2, CD3, CD4, CD5, CD7, CD16, CD19,
CD22, CD56, cCD79a,

Adhäsions-AG: CD11b, CD36, CD123

Zytogenetik in der MDS-Diagnostik

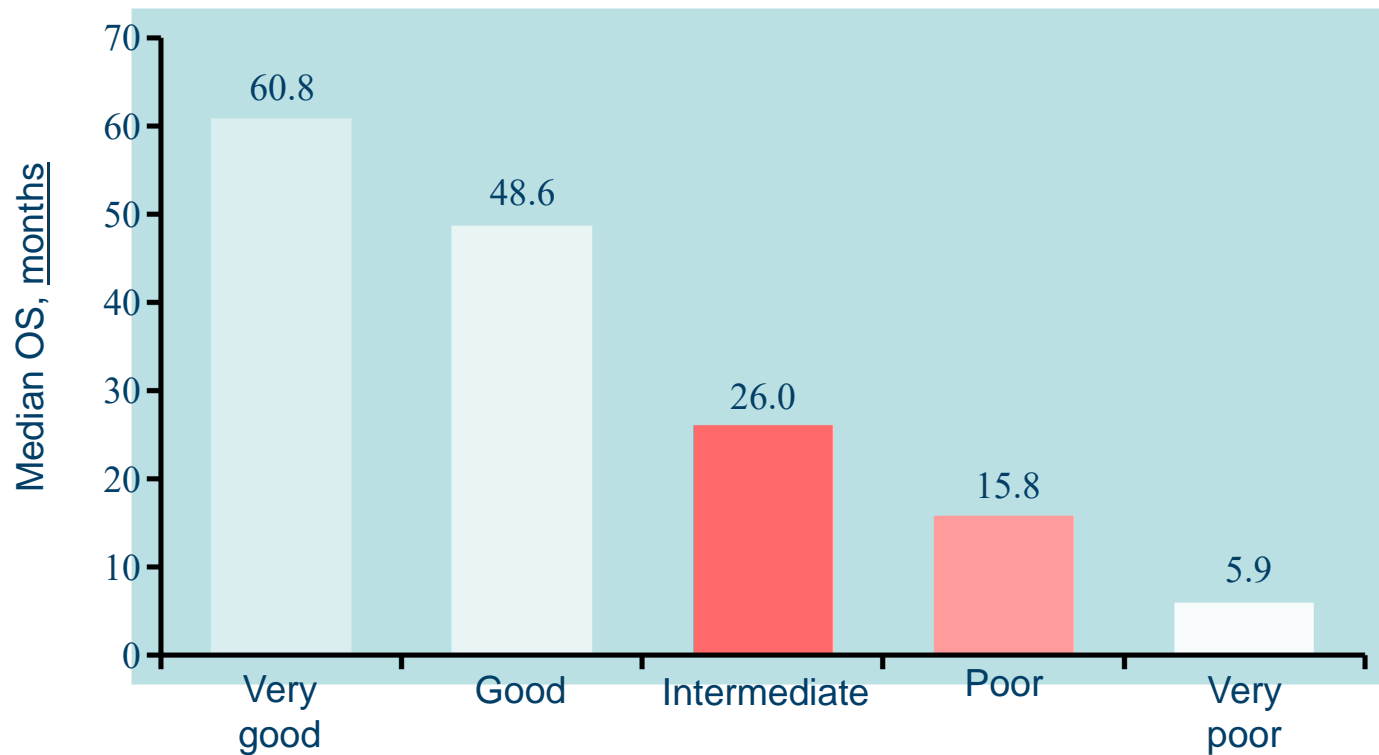
Risikoklassen (n; %)

Very good (81; 2.9)	Good (1,809; 65.7)	Intermediate (529; 19.2)	Poor (148; 5.4)	Very poor (187; 6.8)
<p>Single del(11q) -Y</p>	<p>Normal</p> <p>Single del(5q) del(12p) del(20q)</p> <p>Double Double incl. del(5q)</p>	<p>Single Del(7q) +8 +19 +21 iso(17q) Any others</p> <p>Double Any other</p>	<p>Single Inv(3)/t(3q)/ del(3q) -7</p> <p>Double Incl. -7/del(7q)</p> <p>Complex 3 abnorm.</p>	<p>Complex >3 abnorm.</p>

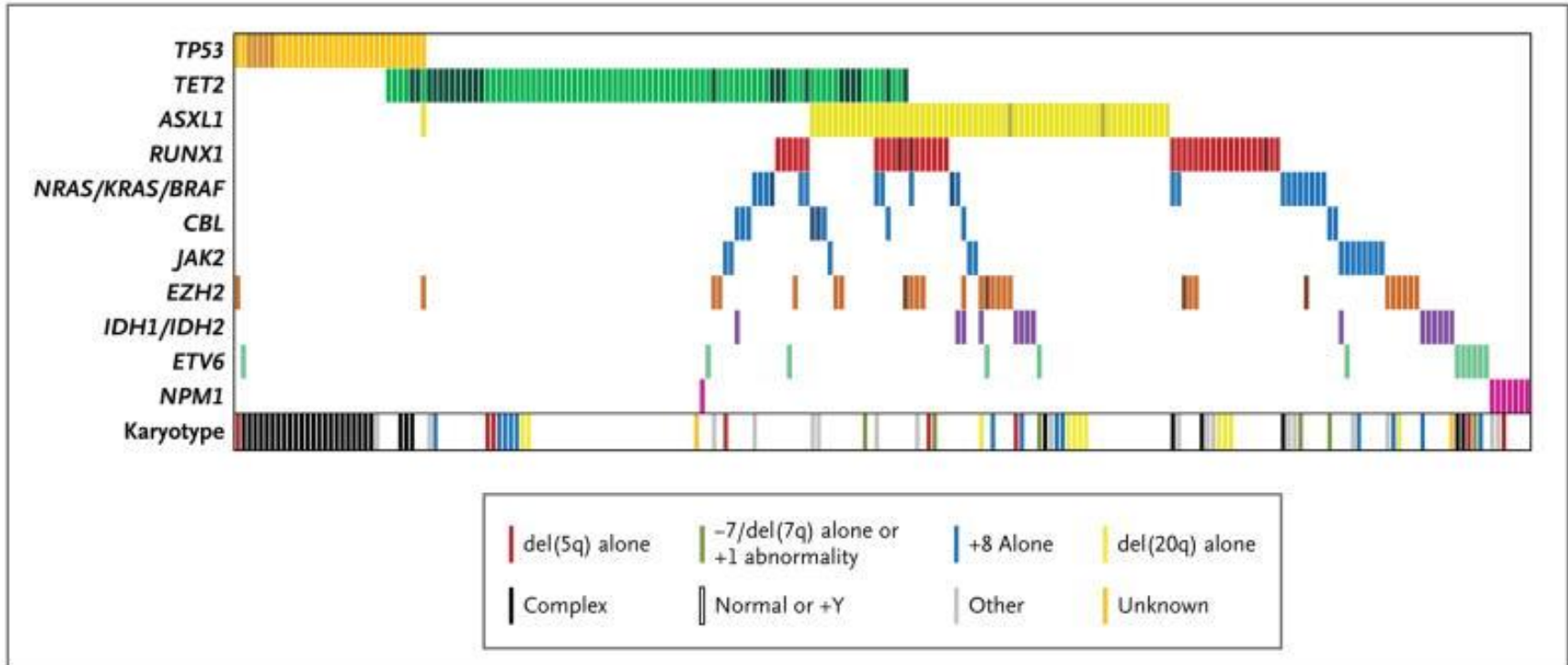
Zytogenetische Risikoklassen der MDS

Multizenterregister von 2,754 patients

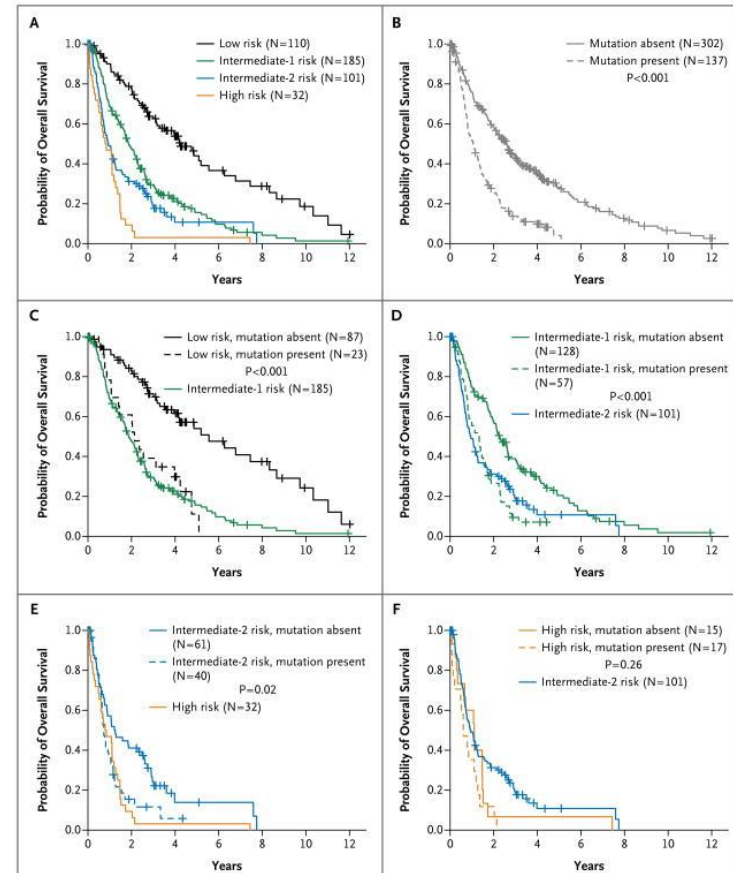
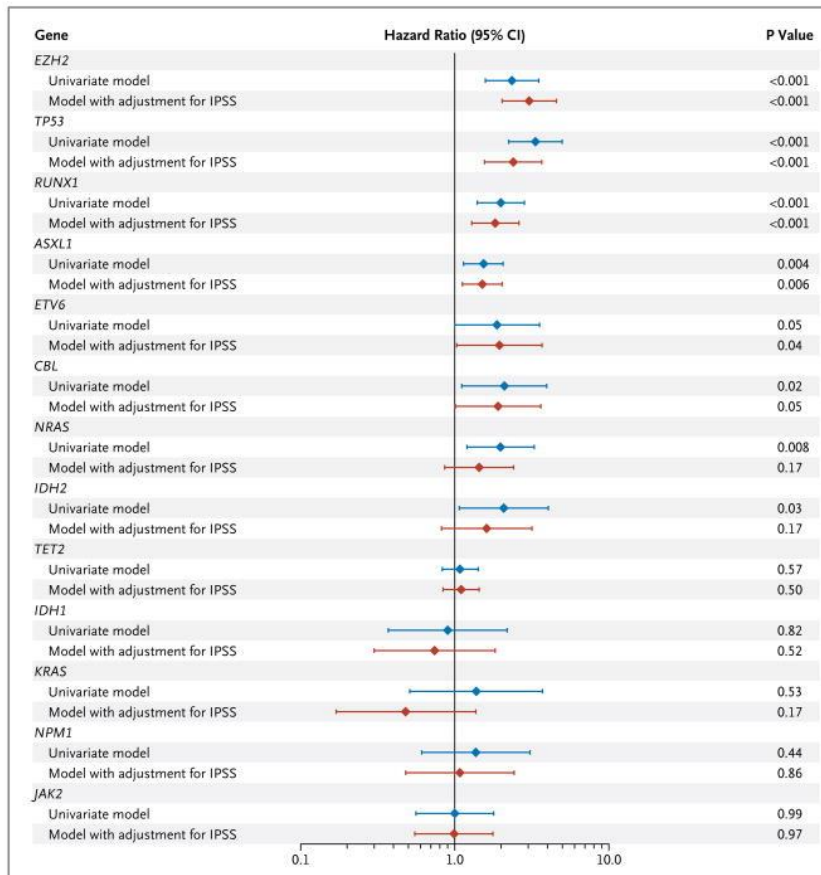
Medianes Überleben der fünf zytogenetischen Subklassen



MDS: Molekulargenetik



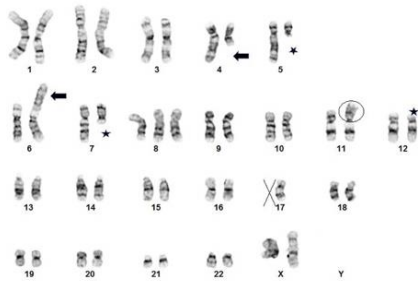
Untersuchung von 439 Patienten mit MDS (Knochenmark)
18 relevante Gene identifiziert



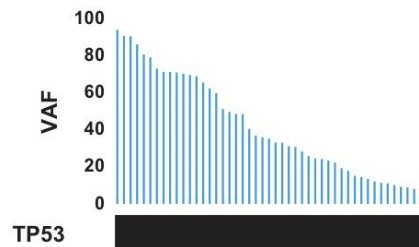
Mutationen in TP53, EZH2, ETV6, RUNX1 und ASXL1 sind mit ungünstiger Prognose assoziiert und unabhängig von etablierten Risikofaktoren

Clinical implications of *TP53* mutations in MDS

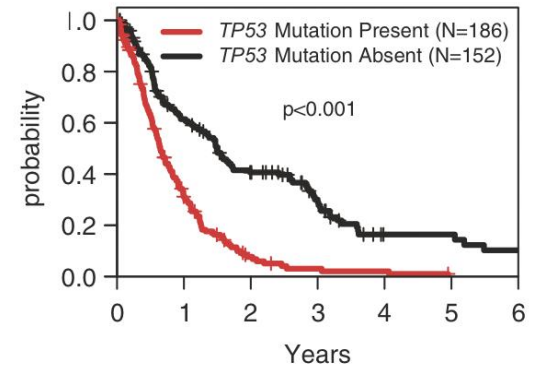
Complex karyotype



LOH at 17p

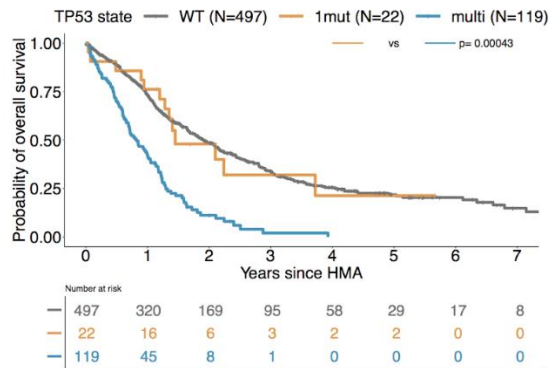


Adverse outcomes

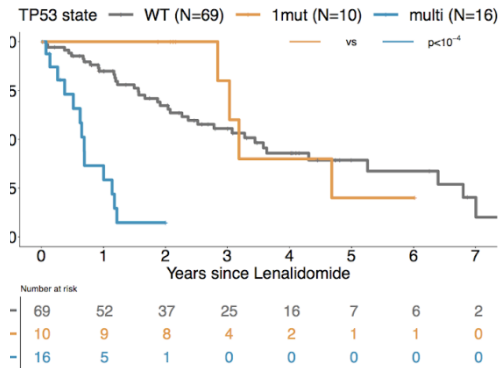


TP53: ALLELHÄUFIGKEIT

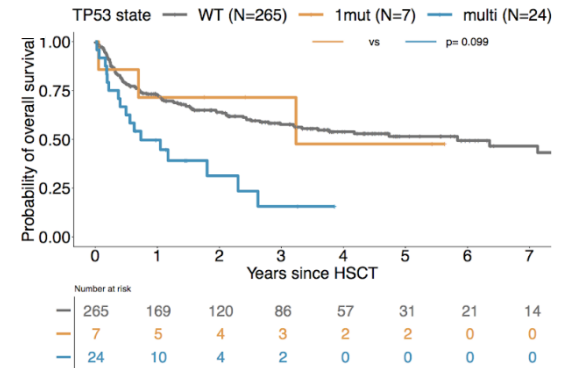
Hypomethylating agents



Lenalidomide



HSCT



Consideration of *TP53* allelic state in correlative studies of treatment response

The IPSS-M model

Model fit with a robust Cox multivariable regression adjusted for confounder variables

Category	Variable	Multivariable model: hazard ratio ^a (95% CI)	Weight w	Scaling x^{mean}
confounder	Age, in years	1.23 (1.05 - 1.43)	N/A	N/A
	Sex:Male	1.22 (1.06 - 1.41)	N/A	N/A
	Type:Secondary/Therapy-related	1.36 (1.10 - 1.68)	N/A	N/A
clinical	% Bone Marrow Blasts, in %	1.42 (1.30 - 1.55)	0.352	0.922
	γ_{res} min(Platelets,250), in $\times 10^9/L$	0.80 (0.72 - 0.89)	-0.222	1.41
	Hemoglobin, in g/dL	0.84 (0.81 - 0.88)	-0.171	9.87
cytogenetics	IPSS-R category vector ^a	1.33 (1.21 - 1.47)	0.287	1.390
gene main effects 17 variables, 16 genes	<i>TP53</i> ^{mut}	3.27 (2.38 - 4.48)	1.18	0.0710
	<i>MLL</i> ^{PTD}	2.22 (1.49 - 3.32)	0.798	0.0247
	<i>FLT3</i> ^{TD+TKD}	2.22 (1.11 - 4.45)	0.798	0.0108
	<i>SF3B1</i> ^{9e}	1.66 (1.03 - 2.66)	0.504	0.0166
	<i>NPM1</i>	1.54 (0.78 - 3.02)	0.430	0.0112
	<i>RUNX1</i>	1.53 (1.23 - 1.89)	0.423	0.126
	<i>NRAS</i>	1.52 (1.05 - 2.20)	0.417	0.0362
	<i>ETV6</i>	1.48 (0.98 - 2.23)	0.391	0.0216
	<i>IDH2</i>	1.46 (1.05 - 2.02)	0.379	0.0429
	<i>CBL</i>	1.34 (0.99 - 1.82)	0.295	0.0473
	<i>EZH2</i>	1.31 (0.98 - 1.75)	0.270	0.0588
	<i>U2AF1</i>	1.28 (1.01 - 1.61)	0.247	0.0866
	<i>SRSF2</i>	1.27 (1.03 - 1.56)	0.239	0.158
	<i>DNMT3A</i>	1.25 (1.02 - 1.53)	0.221	0.161
	<i>ASXL1</i>	1.24 (1.02 - 1.51)	0.213	0.252
	<i>KRAS</i>	1.22 (0.84 - 1.77)	0.202	0.0271
<i>SF3B1</i> ^{9f}	0.92 (0.74 - 1.16)	-0.0794	0.186	
gene residuals ^b 1 variable, 15 genes	min(Nres,2) Possible values are 0,1 or 2	1.26 (1.12 - 1.42)	0.231	0.388

Continuous clinical parameters
Marrow blasts, platelets, hemoglobin

IPSS-R cytogenetic categories

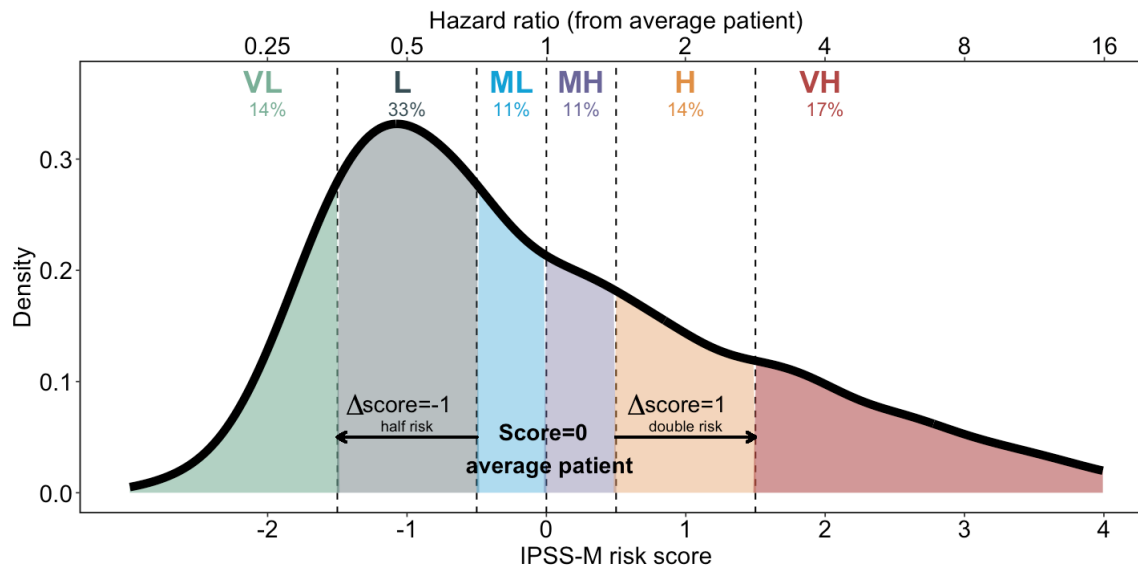
17 genetic variables from 16 main effect genes
Individual weights attributed to each variable

1 genetic variable from 15 residual genes[^]
Number of mutated genes (0, 1 or 2)

^aresidual genes: *BCOR*, *BCORL1*, *CEBPA*, *ETNK1*, *GATA2*, *GNB1*, *IDH1*, *NF1*, *PHF6*, *PPM1D*, *PRPF8*, *PTPN11*, *SETBP1*, *STAG2*, *WT1*

The IPSS-M risk categories

A six-category risk schema

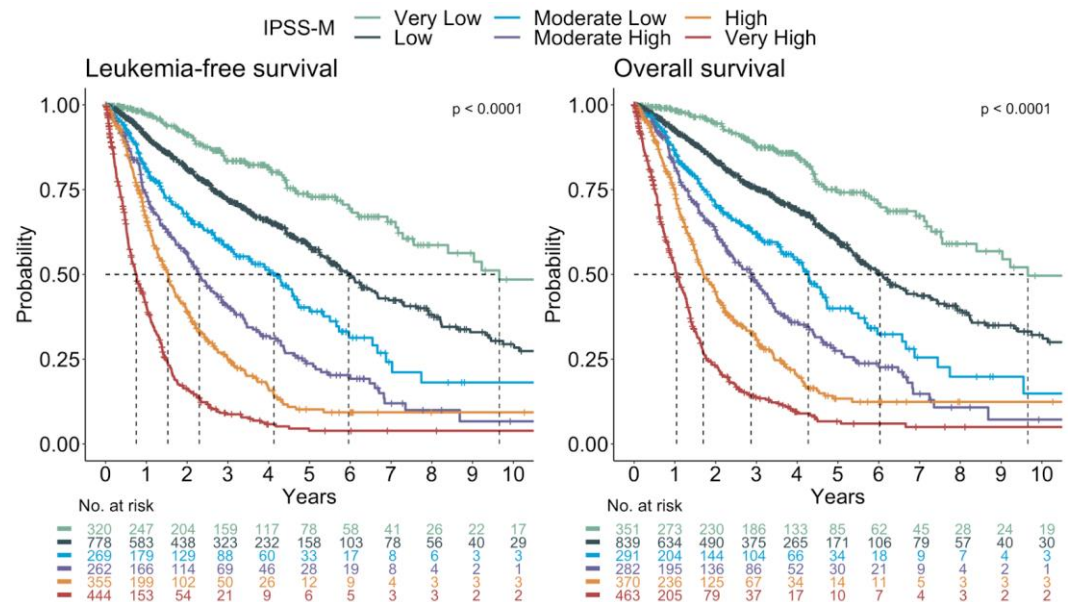


Very Low | Low | Moderate Low | Moderate High | High | Very High

The IPSS-M risk categories

A six-category risk schema

IPSS-M	Very Low VL	Low L	Moderate Low ML	Moderate High MH	High H	Very High VH
Patients, % (n=2,701)	14% (381)	33% (889)	11% (302)	11% (291)	14% (379)	17% (469)
Risk score	≤ -1.5	> -1.5 to -0.5	> -0.5 to 0	> 0 to 0.5	> 0.5 to 1.5	> 1.5
Hazard ratio ^a (95% CI)	0.51 (0.39 - 0.67)	1.0 reference	1.5 (1.2 - 1.8)	2.5 (2.1 - 3.1)	3.7 (3.1 - 4.4)	7.1 (6.0 - 8.3)
Median LFS, yrs 25-75% LFS range, yrs	9.7 5.0 - 17.4	5.9 2.6 - 12.0	4.5 1.6 - 6.9	2.3 0.91 - 4.7	1.5 0.80 - 2.8	0.76 0.33 - 1.5
Median OS, yrs 25-75% OS range, yrs	10.6 5.1 - 17.4	6.0 3.0 - 12.8	4.6 2.0 - 7.4	2.8 1.2 - 5.5	1.7 1.0 - 3.4	1.0 0.5 - 1.8
AML-t by 1 yr, % 2 yrs 4 yrs	0.0 1.2 2.8	1.7 3.4 5.1	4.9 8.8 11.4	9.5 14.0 18.9	14.3 21.2 29.2	28.2 38.6 42.8
Death w/o AML by 1 yr, % 2 yrs 4 yrs	2.2 7.0 15.9	8.5 16.2 29.5	12.0 19.8 33.6	18.0 31.1 51.1	19.3 39.8 54.2	30.6 45.6 51.3



Very Low | Low | Moderate Low | Moderate High | High | Very High
Prognostic separation of the IPSS-M risk categories

Fallbeispiel 2: Zytogenetik



Sehr geehrter Herr Professor Giagounidis,

bei Ihrer Patientin wurde eine Chromosomenanalyse durchgeführt.

Karyotyp (nach ISCN):

46,XX[20]

Kulturansätze: R24, R24+Thymidin, R24+Thymidin+Zytokine, R24+Thymidin+Zytokine HMF 24

Metaphasen karyotypisiert: 20

Bandendarstellung: G-Banden

maximale Bandenzahl (ca.):

Metaphasen nur ausgezählt: 0

Färbetechnik: GAG

normaldiploide Metaphasen: 250

aberrante Metaphasen: 0

Fallbeispiel 2: Molekulargenetik



Gen	Bewertung ¹	Analysierter Bereich	Ensembl transcript ID	Methode	Sensitivität		Material	
					Screening	MRD		
ASXL1 ²	Wildtyp	E13	ENST00000375687	NGS	mind. 3%	1,000%	KM	DNA
BCORL1	Wildtyp	Komplett	ENST00000378444	NGS	mind. 3%	1,000%	KM	DNA
BCORL1	Wildtyp	Komplett	ENST00000540052	NGS	mind. 3%	1,000%	KM	DNA
BRAF ³	Wildtyp	komplett		NGS	mind. 3%	1,000%	KM	DNA
CALR	Wildtyp	E09	ENST00000316448	NGS	mind. 2%	1,000%	KM	DNA
CBL	Wildtyp	Komplett	ENST00000264033	NGS	mind. 3%	1,000%	KM	DNA
CEBPA	Wildtyp	Komplett	ENST00000498907	NGS	mind. 3%	1,000%	KM	DNA
CSF3R	Wildtyp	E14-E17	ENST00000373106	NGS	mind. 3%	1,000%	KM	DNA
CUX1	Wildtyp	Komplett	ENST00000360264	NGS	mind. 3%	1,000%	KM	DNA
DDX41	Wildtyp	Komplett	ENST00000507955	NGS	mind. 3%	1,000%	KM	DNA
DNMT3A	Wildtyp	Komplett	ENST00000264709	NGS	mind. 3%	1,000%	KM	DNA
ETNK1	Wildtyp	E03	ENST00000266517	NGS	mind. 3%	1,000%	KM	DNA
ETV6	Wildtyp	Komplett	ENST00000396373	NGS	mind. 3%	1,000%	KM	DNA
EZH2	Wildtyp	Komplett	ENST00000320356	NGS	mind. 3%	1,000%	KM	DNA
FLT3	Wildtyp	E20	ENST00000241453	NGS	mind. 3%	1,000%	KM	DNA
FLT3-ITD	Wildtyp	Duplikation	ENST00000241453	NGS	mind. 3%	1,000%	KM	DNA
GATA2	Wildtyp	Komplett	ENST00000341105	NGS	mind. 3%	1,000%	KM	DNA
GNB1	Wildtyp	Komplett	ENST00000378609	NGS	mind. 3%	1,000%	KM	DNA
IDH1	Wildtyp	E04	ENST00000345146	NGS	mind. 3%	1,000%	KM	DNA
IDH2	Wildtyp	E04	ENST00000330062	NGS	mind. 3%	1,000%	KM	DNA
JAK2 ⁴	Wildtyp	Komplett	ENST00000381652	NGS	mind. 2%	1,000%	KM	DNA
KIT ⁵	Wildtyp	Komplett	ENST00000288135	NGS	mind. 3%	1,000%	KM	DNA
KRAS	Wildtyp	E02, E03	ENST00000256078	NGS	mind. 3%	1,000%	KM	DNA
MPL	Wildtyp	Komplett	ENST00000372470	NGS	mind. 2%	1,000%	KM	DNA
MYD88 ⁶	Wildtyp	Komplett	ENST00000396334	NGS	mind. 3%	1,000%	KM	DNA
NF1	Wildtyp	Komplett	ENST00000358273	NGS	mind. 3%	1,000%	KM	DNA
NOTCH1	Wildtyp	E26-E28, E34	ENST00000277541	NGS	mind. 3%	1,000%	KM	DNA
NPM1	Wildtyp	E11	ENST00000296930	NGS	mind. 3%	0,010%	KM	DNA
NRAS	Wildtyp	E02, E03	ENST00000369535	NGS	mind. 3%	1,000%	KM	DNA
PHF6	Wildtyp	Komplett	ENST00000370803	NGS	mind. 3%	1,000%	KM	DNA
PIGA	Wildtyp	Komplett	ENST00000333590	NGS	mind. 3%	1,000%	KM	DNA
PPM1D	Wildtyp	Komplett	ENST00000305921	NGS	mind. 3%	1,000%	KM	DNA
PRPF8	Wildtyp	Komplett	ENST00000572621	NGS	mind. 3%	1,000%	KM	DNA
PTEN	Wildtyp	E07-E08	ENST00000371953	NGS	mind. 3%	1,000%	KM	DNA
PTPN11	Wildtyp	Komplett	ENST00000351677	NGS	mind. 3%	1,000%	KM	DNA
RAD21	Wildtyp	Komplett	ENST00000297338	NGS	mind. 3%	1,000%	KM	DNA
RUNX1	Wildtyp	Komplett	ENST00000344691	NGS	mind. 3%	1,000%	KM	DNA

Fallbeispiel 2: Molekulargenetik 2

<i>SETBP1</i>	Wildtyp	E04	ENST00000282030	NGS	mind. 3%	1,000%	KM	DNA
<i>SF1</i>	Wildtyp	Komplett	ENST00000377390	NGS	mind. 3%	1,000%	KM	DNA
<i>SF3A1</i>	Wildtyp	Komplett	ENST00000215793	NGS	mind. 3%	1,000%	KM	DNA
<i>SF3B1</i>	Wildtyp	E13-E16	ENST00000335508	NGS	mind. 3%	1,000%	KM	DNA
<i>SMC1A</i>	Wildtyp	Komplett	ENST00000322213	NGS	mind. 3%	1,000%	KM	DNA
<i>SMC3</i>	Wildtyp	Komplett	ENST00000361804	NGS	mind. 3%	1,000%	KM	DNA
<i>SRSF2</i>	Wildtyp	E01	ENST00000392485	NGS	mind. 3%	1,000%	KM	DNA
<i>STAG2</i>	Wildtyp	Komplett	ENST00000218089	NGS	mind. 3%	1,000%	KM	DNA
<i>TET2</i>	Wildtyp	Komplett	ENST00000380013	NGS	mind. 3%	1,000%	KM	DNA
<i>TP53</i>	Wildtyp	Komplett	ENST00000269305	NGS	mind. 3%	1,000%	KM	DNA
<i>U2AF1</i>	Wildtyp	Komplett	ENST00000291552	NGS	mind. 3%	1,000%	KM	DNA
<i>U2AF2</i>	Wildtyp	E02, E06	ENST00000308924	NGS	mind. 3%	1,000%	KM	DNA
<i>UBA1</i>	Wildtyp	Komplett	ENST00000335972	NGS	mind. 3%	1,000%	KM	DNA
<i>WT1</i>	Wildtyp	E07, E09	ENST00000332351	NGS	mind. 3%	1,000%	KM	DNA
<i>ZRSR2</i>	Wildtyp	Komplett	ENST00000307771	NGS	mind. 3%	1,000%	KM	DNA

Molekulargenetik 3

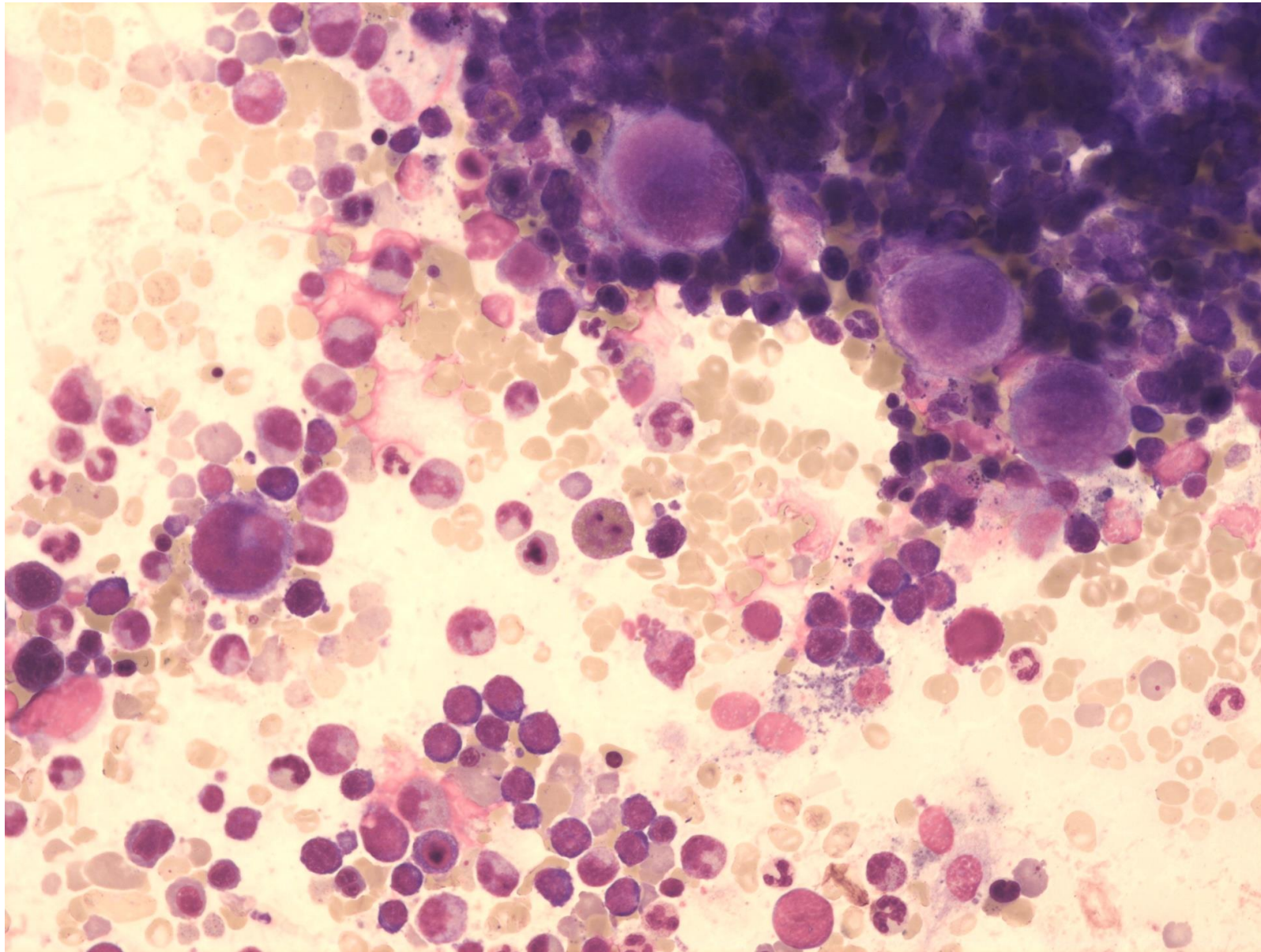
Sehr geehrter Herr Kollege Giagounidis,

wir berichten über die Untersuchung der o.g. Probe(n).

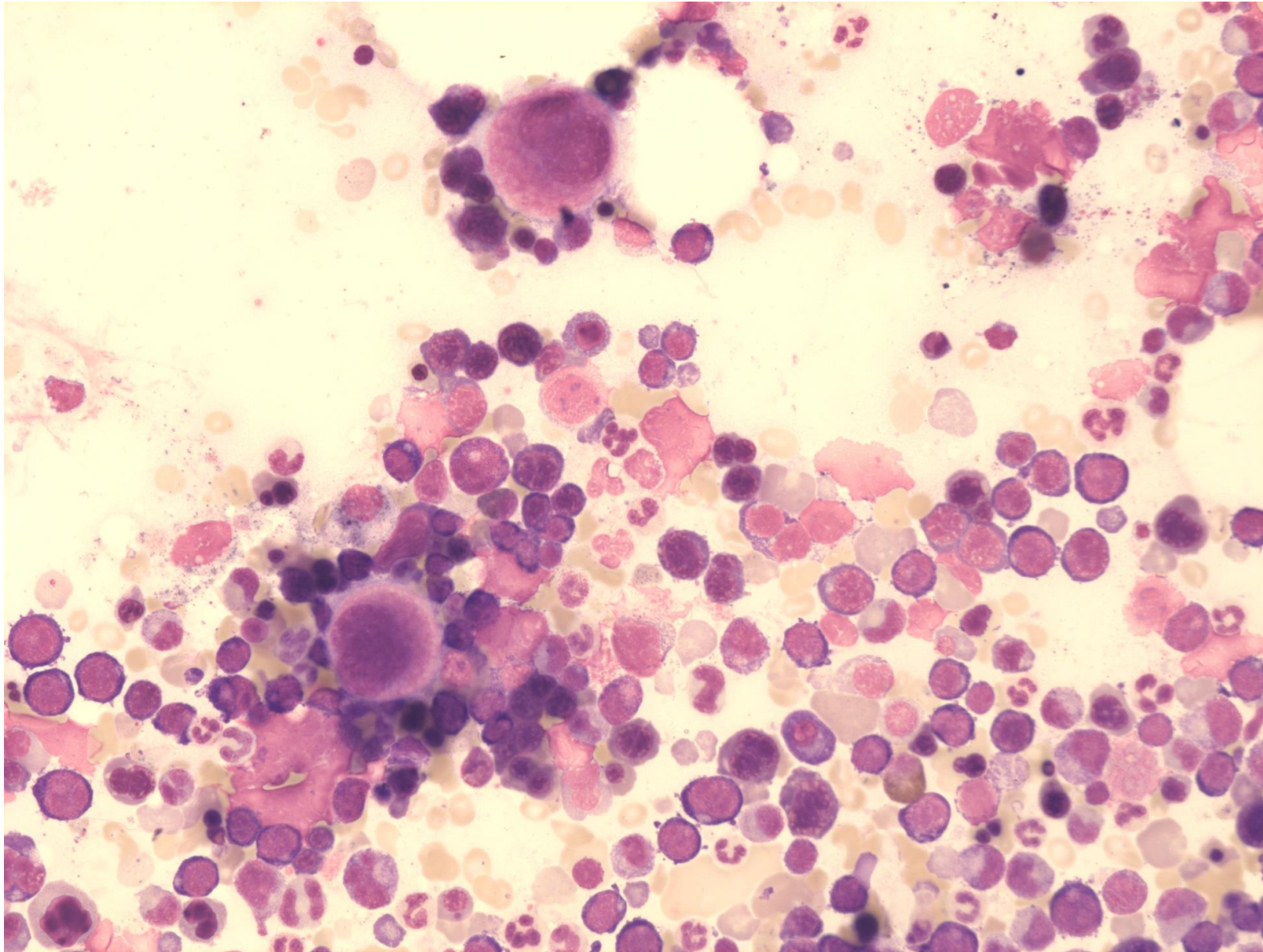
Analysierte Gene: *CDAN1*, *CDIN1*, *KIF23*, *KLF1*, *RACGAP1* und *SEC23B*

Keine Veränderungen nachweisbar

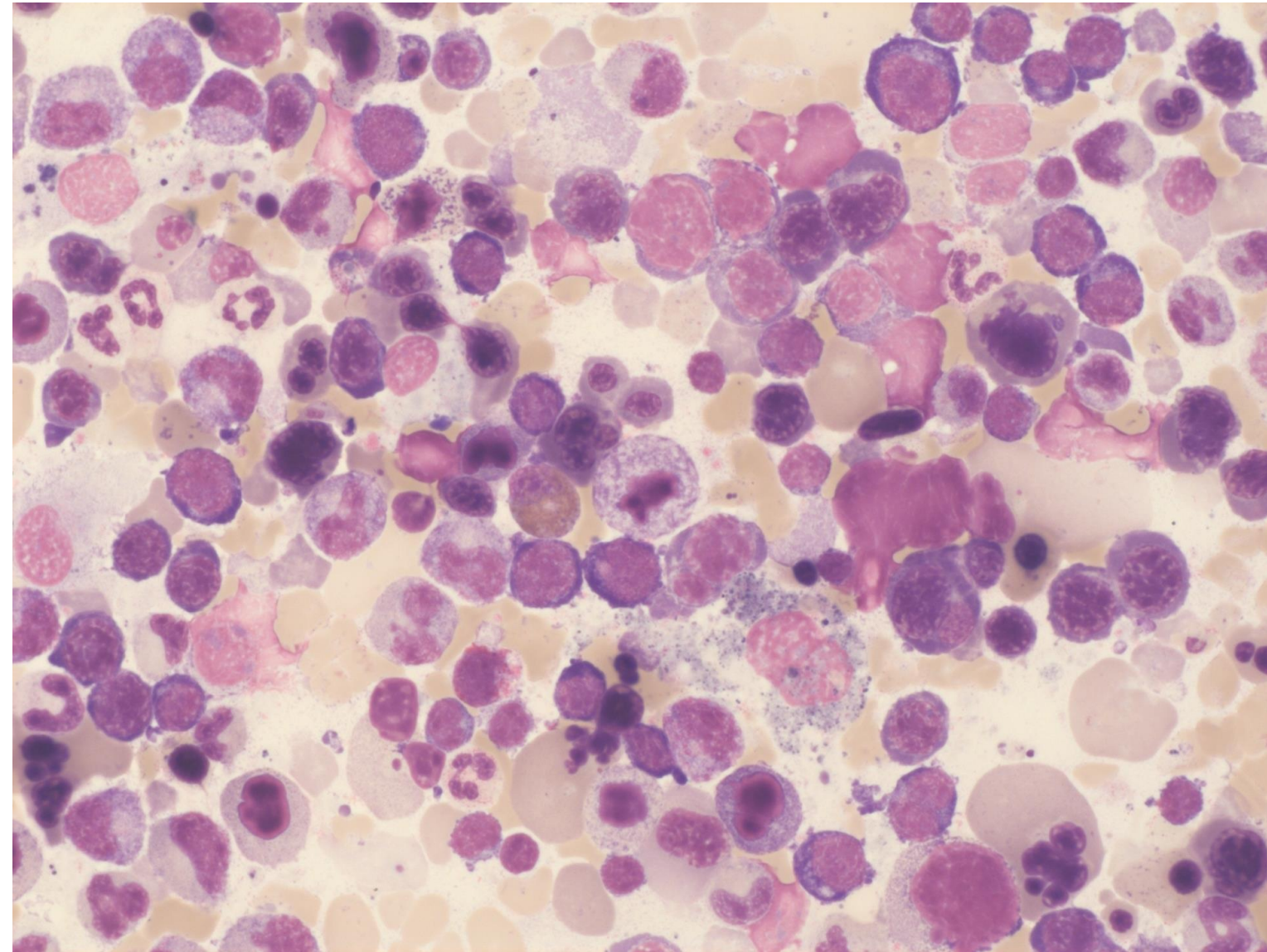
Fallbeispiel 2: Morphologie



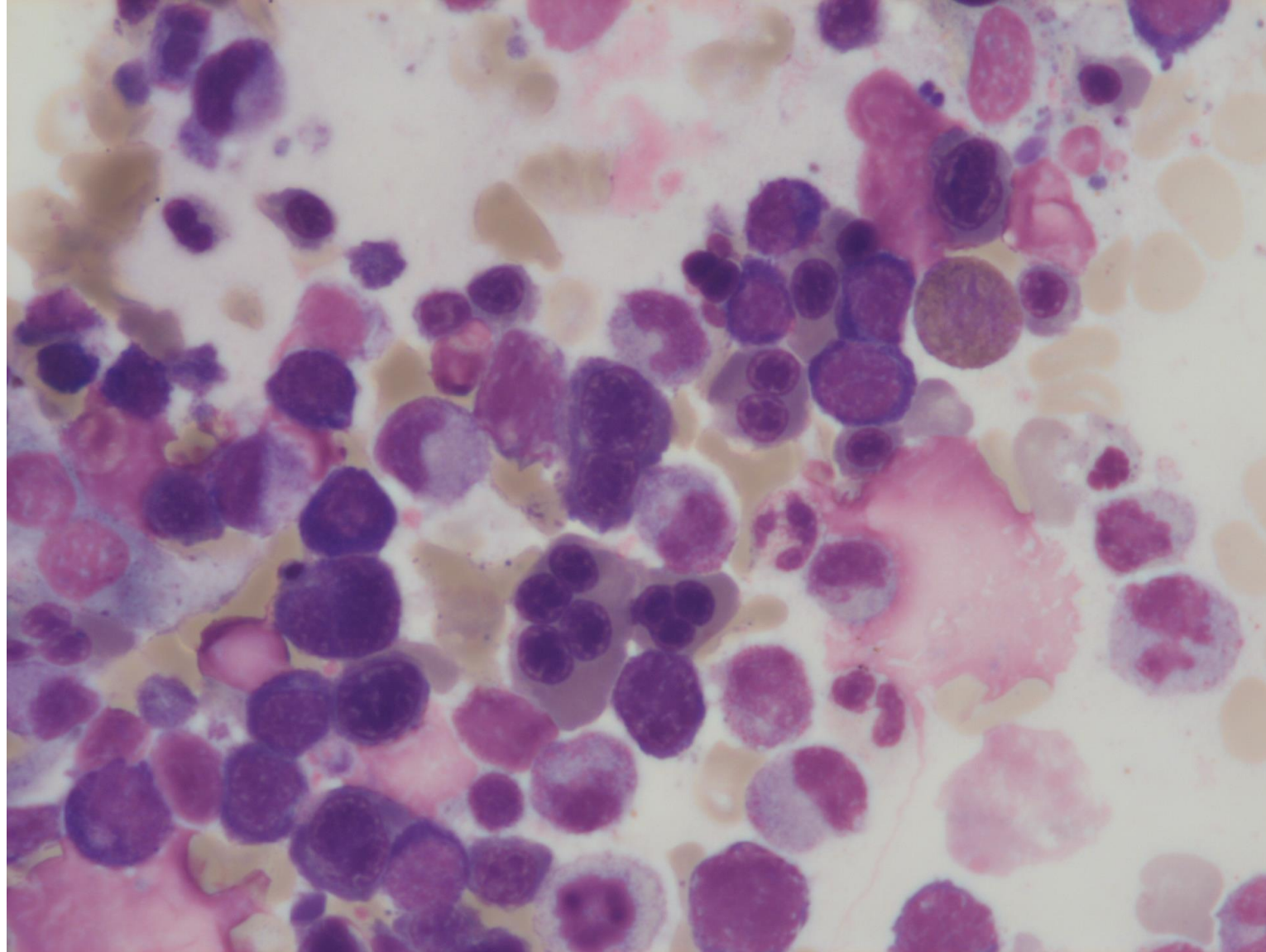
Fallbeispiel 2: Morphologie



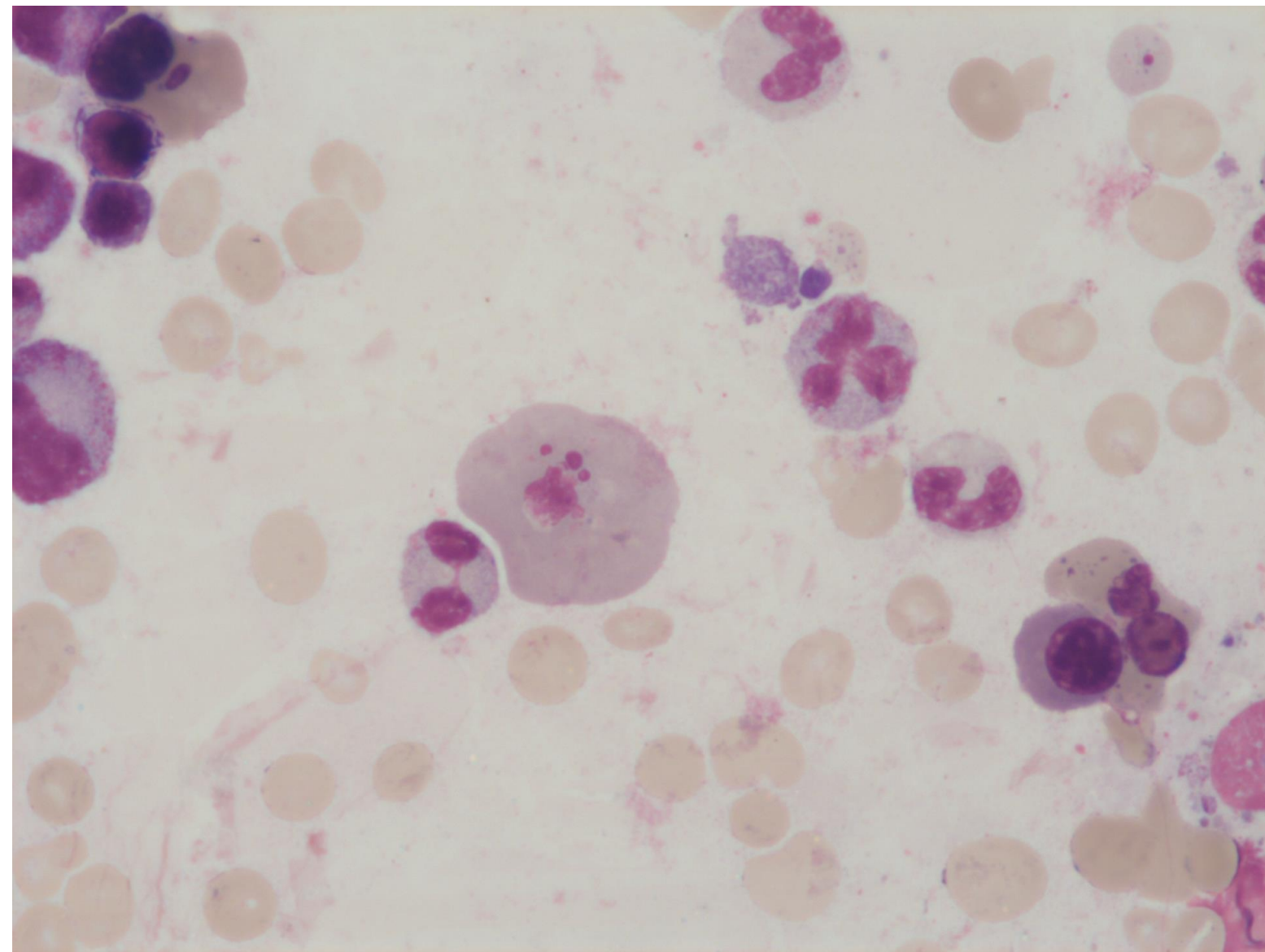
Fallbeispiel 2: Morphologie



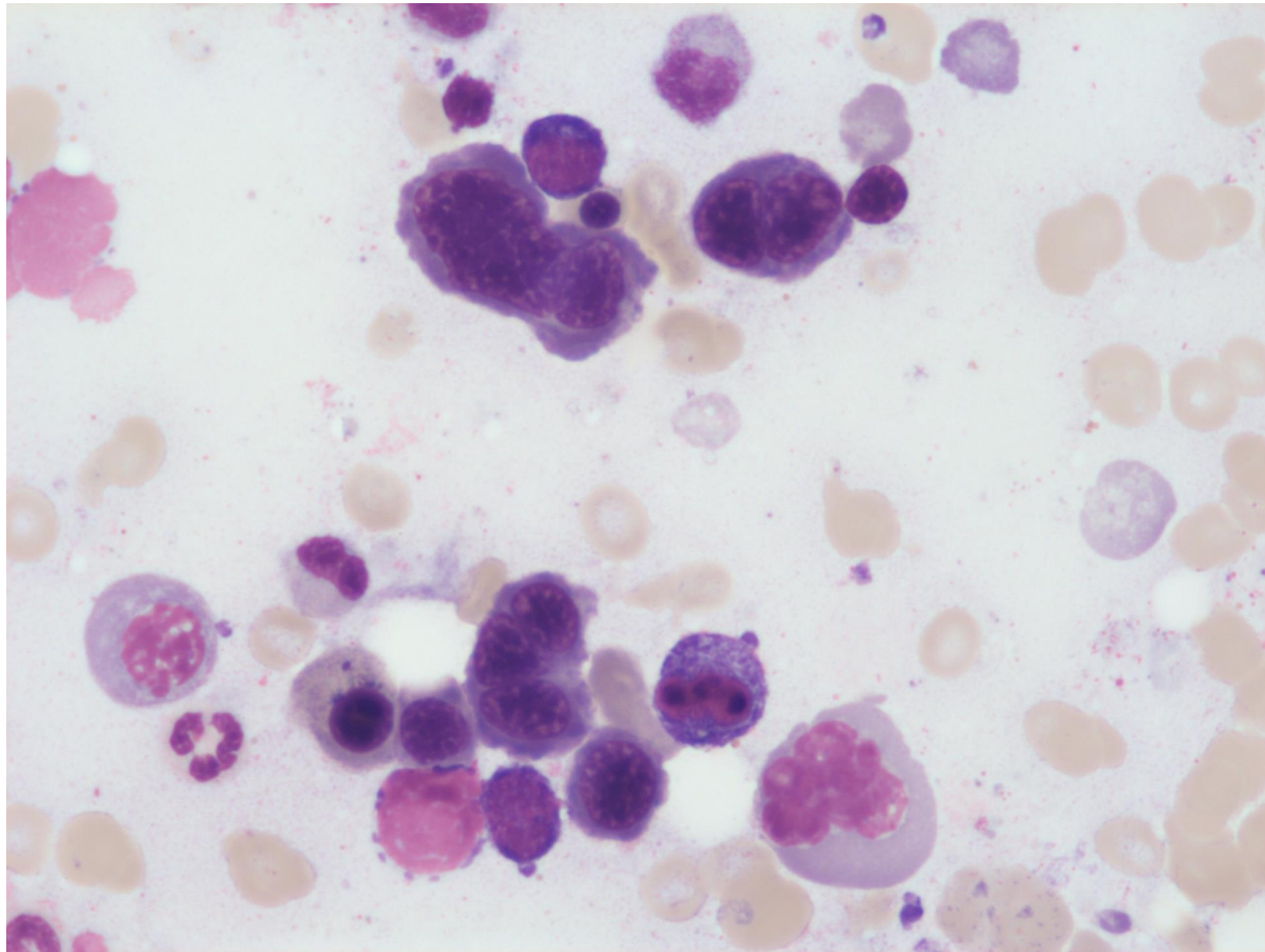
Fallbeispiel 2: Morphologie



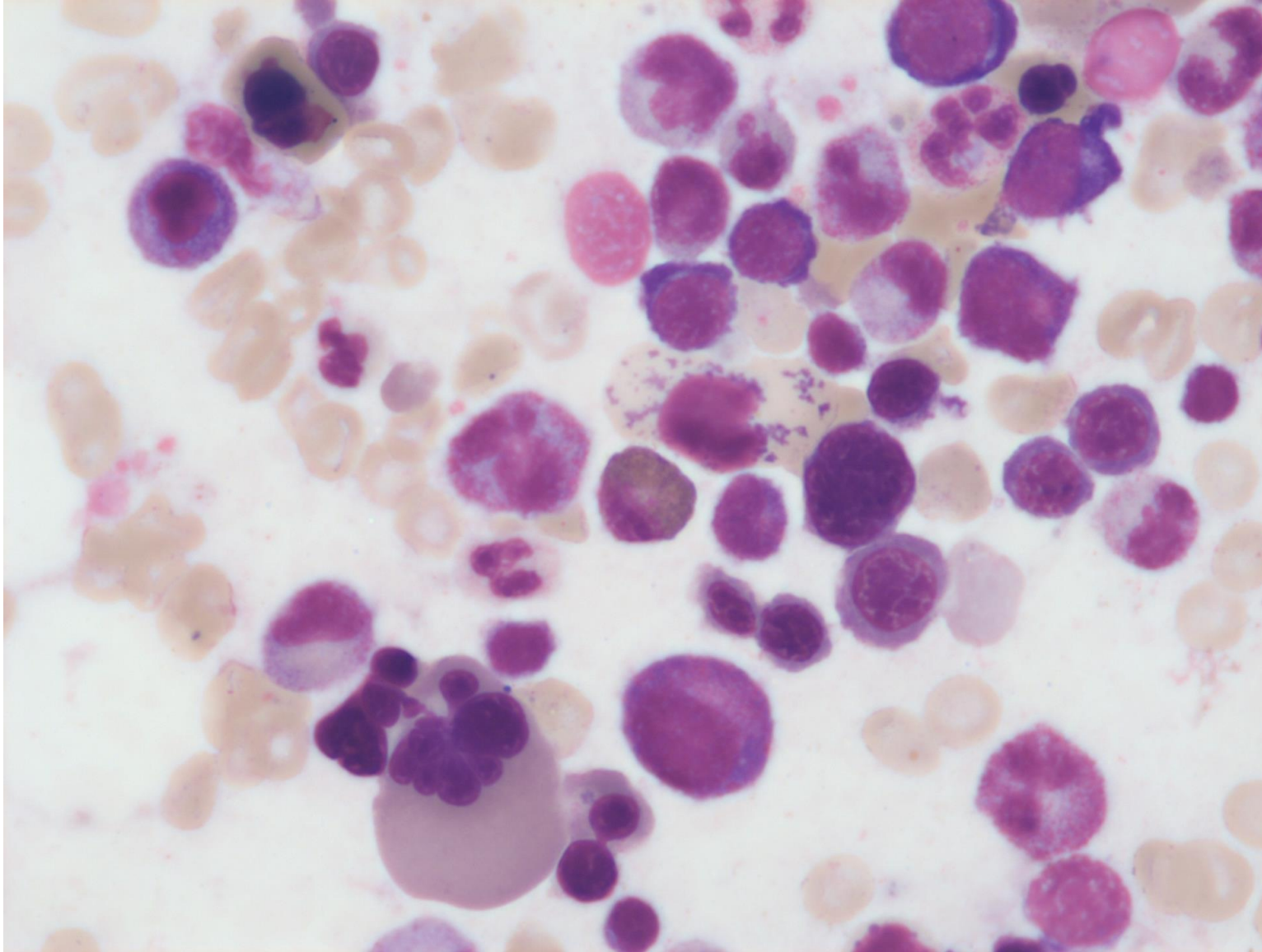
Fallbeispiel 2: Morphologie



Fallbeispiel 2: Morphologie



Fallbeispiel 2: Morphologie



Congenitale dyserythropoetische Anämie Typ III

- bisherige molekulare Aberration noch nicht gefunden
 - work in progress....